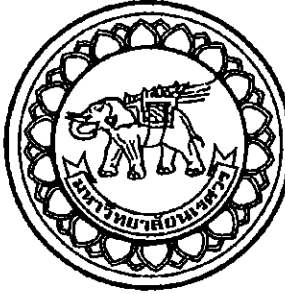


อภิญญาการ



## การทำแพ็คคาร์บูไรซิ่งของใบสกรูในกระบวนการผลิตถ่านไม้

PACKCARBURIZING OF SCREW BLADE IN CHARCOAL

MAKING PROCESS

นายภูมิพัฒน์ ขันติเจริญ รหัส 55361342

นายไตรรงค์ ม่วงสุข รหัส 55365357

นายอัครเศรณี คำมา รหัส 55365685

สำเนาหนังสือเดินทางวิชาลัยนเรศวร
วันออกหนังสือ.....๗.๗.๒๕๕๑
เลขประจำตัว.....๑๗๒๔๘๗๔
เลขประจำหนังสือ.....๔๙

๘๗๒๐

๒๕๕๑

ปริญญานิพนธ์นี้เป็นส่วนหนึ่งของการศึกษาหลักสูตรปริญญาวิศวกรรมศาสตรบัณฑิต  
สาขาวิชาชีวกรรมวัสดุ ภาควิชาชีวกรรมอุตสาหการ  
คณะวิศวกรรมศาสตร์ มหาวิทยาลัยนเรศวร  
ปีการศึกษา 2558



## ใบรับรองปริญญาบัตร

ชื่อหัวข้อโครงการ	การทำแพ็คเกจบูโรชิ่งของใบสกุลในกระบวนการผลิตถ่านไม้		
ผู้ดำเนินโครงการ	นายภูมิพัฒน์	ขันติเจริญ	รหัส 55361342
	นายไตรรงค์	ม่วงสุข	รหัส 55365357
	นายอัคเรศ	คำมา	รหัส 55365685
ที่ปรึกษาโครงการ	อาจารย์ทศพล ตรีรุจิราภพวงศ์		
สาขาวิชา	วิศวกรรมวัสดุ		
ภาควิชา	วิศวกรรมอุตสาหการ		
ปีการศึกษา	2558		

คณะกรรมการคณาจารย์ มหาวิทยาลัยนเรศวร อนุมัติให้ปริญญาบัตรนี้เป็นส่วนหนึ่ง  
ของการศึกษาตามหลักสูตรวิศวกรรมศาสตรบัณฑิต สาขาวิชาวิศวกรรมวัสดุ

ณ วันที่

ที่ปรึกษาโครงการ  
(อาจารย์ทศพล ตรีรุจิราภพวงศ์)

...../...../..... กรรมการ  
(ผู้ช่วยศาสตราจารย์อุปัมภ์ นาครักษ์)

ณ วันที่

กรรมการ  
(อาจารย์กฤชนา พูลสวัสดิ์)

ณ วันที่

กรรมการ  
(อาจารย์นฤมล สีเพลไกร)

ชื่อหัวข้อโครงการ	การทำน้ำพืคкар์บูโรซิ่งของใบสกรูในกระบวนการผลิตถ่านไฟฟ้า		
ผู้ดำเนินโครงการ	นายภูมิพัฒน์	ขันติเจริญ	รหัส 55361342
	นายไตรรงค์	ม่วงสุข	รหัส 55365357
	นายอัคเรศ	คำมา	รหัส 55365685
ที่ปรึกษาโครงการ	อาจารย์ทศพล ตระจิราภพวงศ์		
สาขาวิชา	วิศวกรรมวัสดุ		
ภาควิชา	วิศวกรรมอุตสาหการ		
ปีการศึกษา	2558		

---

### บทคัดย่อ

วัตถุประสงค์ของโครงการวิจัยนี้เพื่อศึกษาการเพิ่มความแข็งที่ผิวให้กับสกรูอัดถ่านแห่งในกระบวนการผลิตของโรงงานอัดถ่านแห่งแห่งหนึ่งในจังหวัดพิษณุโลก โดยกระบวนการแพ็คการบูโรซิ่งที่อุณหภูมิ 950 องศาเซลเซียส ที่ระยะเวลา 3 4 5 และ 6 ชั่วโมง ตามลำดับ เพื่อศึกษาหาระยะเวลา และการแพร่ของคาร์บอนที่เหมาะสมที่สุด ภายหลังกระบวนการแพ็คการบูโรซิ่ง สกรูจะถูกตรวจสอบมาตรฐานรับอนุที่เปลี่ยนไปบริเวณผิวด้วยเครื่องวิเคราะห์ธาตุ (Optical Emission Spectrometer) พร้อมกับตรวจสอบโครงสร้างจุลภาคด้วยกล้องจุลทรรศน์แสง (Optical Microscope) และวัดระยะการแพร่carbonที่ผิวของสกรู จากนั้นทดสอบความแข็งของผิวสกรูหลังผ่านกระบวนการแพ็คการบูโรซิ่งด้วยเครื่องทดสอบความแข็งแบบบร็อกเวล (Rockwell Hardness Testing Method) สุดท้ายขั้นงานสกรูที่ผ่านกระบวนการแพ็คการบูโรซิ่งแล้วทั้งหมดจะถูกทำการชุบแข็งที่ผิว (Case Hardening) และทำการตรวจสอบโครงสร้างจุลภาค และความแข็งด้วยวิธีเดิม

ผลการทดลองพบว่าเวลาที่เหมาะสมที่สุดในการทำการแพ็คการบูโรซิ่งที่อุณหภูมิ 950 องศาเซลเซียส คือ 4 ชั่วโมง โดยที่ใบสกรูมีระยะการแพร่carbon เท่ากับ 1.435 มิลลิเมตร และมีความแข็งเฉลี่ยหลังจากชุบแข็งแล้วเท่ากับ 49.7 HRC ในส่วนของแกนสกรูมีระยะการแพร่carbon เท่ากับ 1.230 มิลลิเมตร และความแข็งเฉลี่ยหลังจากชุบแข็ง เท่ากับ 56 HRC

<b>Project title</b>	Packcarburizing of Screw Blade in Charcoal Making Process		
<b>Name</b>	Mr. Phumiphat Kuntichalearn	ID. 55361342	
	Mr. Tririong Moungsuk	ID. 55365357	
	Mr. Akares Kamma	ID. 55365685	
<b>Project advisor</b>	Mr. Thotsaphon Threrujirapapong		
<b>Major</b>	Materials Engineering		
<b>Department</b>	Industrial Engineering		
<b>Academic year</b>	2015		

---

## Abstract

The objective of this project is to study the increase of surface hardness of compression screw in the charcoal factory in Phitsanulok province. The pack carburizing process at 950°C with the holding times of 3, 4, 5 and 6 hours, respectively, was used to determine the suitable time and diffusion distance of carbon underneath surface. After the pack carburizing process, the increase of carbon content and microstructure of screw were determined by optical emission spectrometer and optical microscope, respectively, compared with the prior process. The diffusion distance of carbon was measured using the paronomic photos of microstructure from outer surface to inside. Rockwell hardness testing method was carried out at the screw surface both before and after the pack carburizing process. Finally, the case hardening process was applied to the pack carburized screw specimens. The microstructure and hardness of case hardened specimens were subsequently determined.

The experimental results showed that the suitable time for the pack carburizing process at 950 ° C is 4 hours. The carbon diffusion distance and average hardness after the case hardening process of the screw blade are 1.435 mm. and 49.7 HRC. In the case of screw core, the carbon diffusion distance and average hardness after the case hardening process were 1.230 mm and 56 HRC.

## กิจกรรมประจำ

ผู้เขียนขอขอบพระคุณ อาจารย์ทศพล ตรีรุจิราภพวงศ์ ซึ่งเป็นอาจารย์ที่ปรึกษาโครงงานในการทำโครงงานวิจัยครั้งนี้ ให้สำเร็จลุล่วงไปได้ด้วยดี และยังให้ความรู้ คำปรึกษา แนวคิด ข้อแนะน้ำเกี่ยวกับการค้นคว้าข้อมูลในการวิเคราะห์ ตลอดจนวิธีการในการแก้ปัญหา แก้ไข ข้อบกพร่องตลอดจนให้ความช่วยเหลือทางด้านต่าง ๆ และให้กำลังใจในการทำงานมาโดยตลอด ผู้จัดทำขอกราบขอบพระคุณเป็นอย่างสูง

ขอขอบคุณผู้ช่วยศาสตราจารย์อุปถัมภ์ นาครักษ์ อาจารย์กฤษณา พูลสวัสดิ์ และอาจารย์ นฤณล สีพลไกร ที่กรุณาเสียสละเวลาในการเป็นคณะกรรมการสอบโครงงาน พร้อมทั้งให้คำแนะนำที่เป็นประโยชน์ และข้อเสนอแนะในการปรับปรุงแก้ไขโครงงานนี้

ขอขอบพระคุณ บิดา มารดา และครอบครัวที่ค่อยสนับสนุนในเรื่องกำลังใจ และค่าใช้จ่าย จนสามารถศึกษา และทำโครงงานเล่มนี้สำเร็จลุล่วงไปได้ด้วยดี

คณะผู้ดำเนินโครงงานวิศวกรรม

นายภูมิพัฒน์ ขันติเจริญ

นายไตรรงค์ ม่วงสุข

นายอัครศ คำมา

พฤษภาคม 2559

## สารบัญ

	หน้า
ใบรับรองปริญญานิพนธ์ .....	ก
บทคัดย่อภาษาไทย .....	ก
บทคัดย่อภาษาอังกฤษ .....	ข
กิตติกรรมประกาศ .....	ค
สารบัญ .....	ง
สารบัญตาราง .....	น
สารบัญรูป .....	ช
สารบัญสัญลักษณ์ และอักษรย่อ .....	ภ
<b>บทที่ 1 บทนำ .....</b>	<b>1</b>
1.1 ความเป็นมา และความสำคัญของโครงการ .....	1
1.2 วัตถุประสงค์ของโครงการ .....	1
1.3 ประโยชน์ที่คาดว่าจะได้รับ .....	2
1.4 ขอบเขตการดำเนินงาน .....	2
1.5 ขั้นตอนการดำเนินงาน .....	2
1.6 สถานที่ในการดำเนินโครงการ .....	3
1.7 ระยะเวลาในการดำเนินโครงการ .....	3
1.8 ขั้นตอน และแผนการดำเนินโครงการ .....	4
<b>บทที่ 2 หลักการ และทฤษฎีเบื้องต้น .....</b>	<b>5</b>
2.1 การขุบแข็งผิวด้วยวิธีแพ็คคาร์บูไรซิ่ง (Packcarburizing) .....	5
2.2 การแพร่ของอะตอน .....	10
2.3 ความหนาผิวแข็ง (Case Depth) .....	20
2.4 บทบาทของธาตุบางตัวในการทำแพ็คคาร์บูไรซิ่ง .....	21
2.5 โครงการวิจัยที่เกี่ยวข้อง .....	21
<b>บทที่ 3 วิธีการดำเนินโครงการ .....</b>	<b>24</b>
3.1 ขั้นตอน และระเบียบวิธีวิจัยที่ใช้ในการดำเนินโครงการ .....	24
3.2 วัสดุ และอุปกรณ์ .....	25
3.3 ขั้นตอนการดำเนินโครงการ .....	26

## สารบัญ (ต่อ)

	หน้า
3.4 การตรวจสอบ .....	26
3.5 ทำการแพ็คคาร์บูรีซิ่งสกรูอัดถ่าน .....	27
3.6 วิเคราะห์ผลการทดลอง .....	27
3.7 สรุปผลโครงการ และข้อเสนอแนะ .....	28
<b>บทที่ 4 ผลการทดลอง และการวิเคราะห์.....</b>	<b>29</b>
4.1 สกรูที่ใช้ในกระบวนการอัดถ่านแท่ง .....	29
4.2 กระบวนการแพ็คคาร์บูรีซิ่ง .....	33
4.3 การชุบแข็งที่ผิว (Case Hardening) .....	38
<b>บทที่ 5 บทสรุป และข้อเสนอแนะ .....</b>	<b>45</b>
5.1 บทสรุป .....	45
5.2 ข้อเสนอแนะ และการพัฒนา .....	45
5.3 ปัญหาที่พบ และแนวทางแก้ไข .....	46
<b>เอกสารอ้างอิง .....</b>	<b>47</b>
<b>ภาคผนวก ก.....</b>	<b>49</b>
<b>ภาคผนวก ข.....</b>	<b>52</b>
<b>ภาคผนวก ค.....</b>	<b>57</b>
<b>ประวัติผู้ดำเนินโครงการ.....</b>	<b>62</b>

## สารบัญตาราง

ตารางที่	หน้า
1.1 ขั้นตอน และแผนการดำเนินโครงการ .....	4
2.1 องค์ประกอบต่าง ๆ ของถ่านไม้.....	10
2.2 ข้อมูลการแพร่ของวัสดุต่าง ๆ .....	14
2.3 สัมประสิทธิ์การแพร่ของวัสดุต่าง ๆ ที่อุณหภูมิ 500 องศาเซลเซียส .....	18
2.4 ฟังก์ชันคลาดเคลื่อนสำหรับกฎข้อที่สองของพีค .....	19
4.1 ผลวิเคราะห์ส่วนผสมทางเคมีของแกน และสกรูอัดถ่านก่อนการทำแพ็คการบูรจิ่ง.....	30
4.2 ผลการวิเคราะห์ส่วนผสมทางเคมีของแกน และใบสกรูหลังการทำแพ็คการบูรจิ่ง .....	33



## สารบัญรูป

รูปที่	หน้า
2.1 การบรรจุชิ้นงานชุมแข็งผิวในหีบสำหรับการขับ .....	6
2.2 การแพร์ซึมของคาร์บอนเข้าสู่ผิวของแท่งเหล็กระหว่างการทำแพ็คคาร์บูโรเชิง .....	7
2.3 กราฟฟาร์เรเนียสระหว่าง เท(D) กับ 1/T .....	11
2.4 กระบวนการแพร์ของทองแดง (Cu) สูนิกเกล (Ni) .....	12
2.5 กลไกการแพร่ ก) แบบซ่องว่างข) แบบแทรกที่ .....	13
2.6 พลังงานกระตุ้นให้อะตอมเกิดการแพร .....	13
2.7 พลักซ์ ขณะเกิดการแพร์จากจำนวนอะตอม .....	16
2.8 การเปลี่ยนแปลงความเข้มข้นของอะตอมที่เกิดการแพร์ตามระยะทาง .....	16
2.9 สัมประสิทธิ์การแพร' (D) เป็นฟังก์ชันของอุณหภูมิของวัสดุต่าง ๆ .....	17
2.10 การแพร์ของอะตอมสู่ผิวของวัสดุ ตามกฎข้อที่สองของพีค .....	19
2.11 ความแข็งจากผิวถึงภายใน .....	20
2.12 ความหนาของผิวแข็งสัมพันธ์กับเวลาและอุณหภูมิ .....	20
3.1 ลำดับขั้นตอนการทำงาน .....	24
3.2 สรุปที่ใช้ในกระบวนการอัดถ่าน .....	25
4.1 ขั้นงานใบสกรู .....	29
4.2 ขั้นงานแกนสกรู .....	30
4.3 โครงสร้างจุลภาคของแกนสกรูที่กำลังขยาย 200 เท่า .....	31
4.4 โครงสร้างจุลภาคของแกนสกรูที่กำลังขยาย 500 เท่า .....	31
4.5 โครงสร้างจุลภาคของใบสกรูที่กำลังขยาย 200 เท่า .....	32
4.6 โครงสร้างจุลภาคของใบสกรูที่กำลังขยาย 500 เท่า .....	32
4.7 โครงสร้างจุลภาคของแกนสกรูที่ผ่านกระบวนการแพ็คคาร์บูโรเชิง 3 ชั่วโมง .....	34
4.8 โครงสร้างจุลภาคของแกนสกรูที่ผ่านกระบวนการแพ็คคาร์บูโรเชิง 4 ชั่วโมง .....	34
4.9 โครงสร้างจุลภาคของแกนสกรูที่ผ่านกระบวนการแพ็คคาร์บูโรเชิง 5 ชั่วโมง .....	35
4.10 โครงสร้างจุลภาคของแกนสกรูที่ผ่านกระบวนการแพ็คคาร์บูโรเชิง 6 ชั่วโมง .....	35
4.11 โครงสร้างจุลภาคของใบสกรูที่ผ่านกระบวนการแพ็คคาร์บูโรเชิง 3 ชั่วโมง .....	36
4.12 โครงสร้างจุลภาคของใบสกรูที่ผ่านกระบวนการแพ็คคาร์บูโรเชิง 4 ชั่วโมง .....	36
4.13 โครงสร้างจุลภาคของใบสกรูที่ผ่านกระบวนการแพ็คคาร์บูโรเชิง 5 ชั่วโมง .....	37
4.14 โครงสร้างจุลภาคของใบสกรูที่ผ่านกระบวนการแพ็คคาร์บูโรเชิง 6 ชั่วโมง .....	37
4.15 ระยะการแพร์ของคาร์บอนในกระบวนการแพ็คคาร์บูโรเชิงที่ 950 องศาเซลเซียส .....	38
4.16 โครงสร้างจุลภาคของแกนสกรูที่ทำแพ็คคาร์บูโรเชิงที่ 3 ชั่วโมง ภายหลังการขับแข็ง .....	39
4.17 โครงสร้างจุลภาคของแกนสกรูที่ทำแพ็คคาร์บูโรเชิงที่ 4 ชั่วโมง ภายหลังการขับแข็ง .....	39
4.18 โครงสร้างจุลภาคของแกนสกรูที่ทำแพ็คคาร์บูโรเชิงที่ 5 ชั่วโมง ภายหลังการขับแข็ง .....	40

## สารบัญรูป (ต่อ)

	หน้า
4.19 โครงสร้างจุลภาคของแกนสกรูที่ทำแพ็คคาร์บูโรชีงที่ 6 ชั่วโมง ภายหลังการขับแข็ง .....	40
4.20 โครงสร้างจุลภาคของใบสกรูที่ทำแพ็คคาร์บูโรชีงที่ 3 ชั่วโมง ภายหลังการขับแข็ง.....	41
4.21 โครงสร้างจุลภาคของใบสกรูที่ทำแพ็คคาร์บูโรชีงที่ 4 ชั่วโมง ภายหลังการขับแข็ง.....	41
4.22 โครงสร้างจุลภาคของใบสกรูที่ทำแพ็คคาร์บูโรชีงที่ 5 ชั่วโมง ภายหลังการขับแข็ง.....	42
4.23 โครงสร้างจุลภาคของใบสกรูที่ทำแพ็คคาร์บูโรชีงที่ 6 ชั่วโมง ภายหลังการขับแข็ง.....	42
4.24 ค่าความแข็งของแกนสกรู ก่อน-หลังทำแพ็คคาร์บูโรชีง และหลังการขับแข็งที่ผิว ที่เวลา 3 4 5 และ 6 ชั่วโมง.....	43
4.25 ค่าความแข็งของใบสกรู ก่อน-หลังทำแพ็คคาร์บูโรชีง และหลังการขับแข็งที่ผิว ที่เวลา 3 4 5 และ 6 ชั่วโมง.....	43
4.26 โครงสร้างจุลภาคแบบต่อเนื่องของแกนสกรูที่ 3 ชั่วโมง .....	53
4.27 โครงสร้างจุลภาคแบบต่อเนื่องของแกนสกรูที่ 4 ชั่วโมง .....	53
4.28 โครงสร้างจุลภาคแบบต่อเนื่องของแกนสกรูที่ 5 ชั่วโมง .....	54
4.29 โครงสร้างจุลภาคแบบต่อเนื่องของแกนสกรูที่ 6 ชั่วโมง .....	54
4.30 โครงสร้างจุลภาคแบบต่อเนื่องของใบสกรูที่ 3 ชั่วโมง.....	55
4.31 โครงสร้างจุลภาคแบบต่อเนื่องของใบสกรูที่ 4 ชั่วโมง.....	55
4.32 โครงสร้างจุลภาคแบบต่อเนื่องของใบสกรูที่ 6 ชั่วโมง.....	56

## สารบัญสัญลักษณ์ และอักษรย่อ

NaCl	=	Sodium Chloride
NaCN	=	Sodium Cyanide
Na <sub>2</sub> CO <sub>3</sub>	=	Sodium Carbonate
HRC	=	Hardness Rockwell Scale C
BaCl <sub>2</sub>	=	Barium Chloride
C <sub>2</sub> CaN <sub>2</sub>	=	Calcium Cyanide
HV	=	Hardness Vickers
Ar	=	Argon
C	=	Carbon
CO	=	Carbon Monoxide
CO <sub>2</sub>	=	Carbon Dioxide
BaCO <sub>3</sub>	=	Barium Carbonate
K <sub>2</sub> CO <sub>3</sub>	=	Potassium Carbonate
K	=	Kelvin
FCC	=	Face Centered Cubic
BCC	=	Body Centered Cubic
HCP	=	Hexagonal Closed Packed
Al <sub>2</sub> O <sub>3</sub>	=	Aluminium Oxide
MgO	=	Magnesium Oxide
exp	=	Exponential
APF	=	Atomic Packing Factor
CP	=	Carbon Potential
HB	=	Hardness Brinell
AISI	=	American Iron And Steel Institute
JIS	=	Japaness Industrial Standards
CaCO <sub>3</sub>	=	Calcium Carbonate
N/mm <sup>2</sup>	=	นิวตันต่อตารางมิลลิเมตร
m <sup>2</sup> /sec	=	ตารางเมตรต่อวินาที
cal/mol	=	แคลโลรี่ต่อโมล
cm <sup>2</sup> /sec	=	ตารางเซนติเมตรต่อวินาที

## บทที่ 1

### บทนำ

#### 1.1 ความเป็นมา และความสำคัญของโครงการ

โครงการนี้เกิดขึ้นจากการไปสำรวจกระบวนการผลิตของกิจการโรงงานอัดถ่านแห่งหนึ่งในจังหวัดพิษณุโลก และได้สังเกตว่าหัวใจสำคัญของการผลิตนี้อยู่ที่กระบวนการขึ้นรูป โดยจะใช้เครื่องอัดถ่านเพื่อขึ้นรูปให้ได้ตามขนาดที่ต้องการ และพบว่าสกรูที่ใช้ในการอัดถ่านเพื่อทำการขึ้นรูปให้ได้ขนาดนั้น เกิดการสึกหรอส่งผลทำให้ถ่านที่อัดขึ้นรูปไม่ได้ขนาดตามที่ต้องการ ทางโรงงานจึงใช้วิธีการเชื่อมพอกในตรงส่วนที่สึกหรอ และทำการเจียร์ในผ้าให้ได้ขนาดเหมือนเดิม จึงค่อยนำกลับไปใช้งานอีกรั้ง

จากการสอบถามทางโรงงานทราบว่า สกรูที่ผ่านการเชื่อมพอกแล้วนำไปใช้งาน สามารถใช้งานได้คร่าวๆ เวลาสั้น ๆ สกรูมีการสึกหรืออีกถ่านที่ขึ้นรูปก็ไม่ได้ตามขนาดที่ต้องการ ทางโรงงานจึงนำสกรูที่สึกหรอนั้นมาทำการเชื่อมพอกตามแนวในสกรูอีกรั้งหนึ่ง ซึ่งขั้นตอนการแกะปั๊มหัวของโรงงานนี้จะเสียเวลาในการซ่อมแซมสกรูมาก เนื่องจากต้องถอดสกรูออกจากเครื่องอัดถ่านทุกรั้งที่นำมาใช้ การซ่อม และยังเสียค่าใช้จ่ายในการเชื่อมพอกสกรูอีกด้วย

ในเบื้องต้น ทางผู้จัดทำจึงอยากรู้ว่า วิธีใดที่จะแก้ไขปัญหาสกรูสึกหรอ โดยใช้วิธีการเพิ่มความแข็งที่ผิวของใบสกรูด้วยกระบวนการแพ็คคาร์บูโรชิ่ง วิธีนี้มีต้นทุนในการปรับปรุงต่ำ ไม่ยุ่งยากซับซ้อน วัสดุอุปกรณ์สามารถหาได้ทั่วไป นอกจากนั้นทางโรงงานมีเศษถ่านเหลือใช้จากการผลิตอยู่แล้ว จึงมีความคิดที่จะเอาถ่านในส่วนนั้น มาใช้ทำกระบวนการแพ็คคาร์บูโรชิ่งให้กับสกรู เพื่อเพิ่มปริมาณสารบอนให้กับสกรู จนถึงระดับที่สามารถทำการซบแข็งได้ วิธีนี้คาดว่าจะทำให้สกรูมีความแข็งเพิ่มขึ้น ทนต่อการสึกหรอ การเสียดสี สามารถใช้งานได้นานขึ้นกว่าเดิม และยังสามารถลดค่าใช้จ่ายในโรงงานได้อีกด้วย

ดังนั้นปริญญา妮พนธ์นี้จึงมุ่งเน้นที่จะศึกษาความเป็นไปได้ในการเพิ่มความแข็งของสกรูอัดถ่านในโรงงานแห่งนี้ด้วยวิธีแพ็คคาร์บูโรชิ่งและการซบแข็ง

#### 1.2 วัตถุประสงค์ของโครงการ

- 1.2.1 เพื่อเพิ่มความแข็งที่ผิวให้กับสกรูอัดถ่าน
- 1.2.2 เพื่อหาเวลาที่เหมาะสมที่สุดในการทำแพ็คคาร์บูโรชิ่งที่อุณหภูมิ 950 องศาเซลเซียส
- 1.2.3 เพื่อปรับปรุงกระบวนการอัดถ่านให้ดีขึ้น

### 1.3 ประโยชน์ที่คาดว่าจะได้รับ

- 1.3.1 ผู้สกูอัดถ่านมีความแข็งเพิ่มขึ้น
- 1.3.2 ใบสกูอัดถ่านทนต่อการสึกหรอได้ดีขึ้น
- 1.3.3 ได้ทราบถึงเวลาที่เหมาะสมที่สุดที่ใช้ในการแพร่คาร์บอนเข้าไปในสกูอัดถ่าน

### 1.4 ขอบเขตการทำโครงการ

- 1.4.1 ทำแพ็คคาร์บูโรชิ่งให้กับสกูอัดถ่าน
- 1.4.2 ขนาดผงถ่านไม่มีขนาดไม่เกิน 150 ไมโครเมตร
- 1.4.3 สกูอัดถ่านมีขนาด กว้าง 9 เซนติเมตร ยาว 60 เซนติเมตร
- 1.4.4 อุณหภูมิที่ใช้ 950 องศาเซลเซียส โดยใช้เวลาอบ 3 4 5 และ 6 ชั่วโมง
- 1.4.5 ตรวจสอบปริมาณคาร์บอนก่อน และหลังกระบวนการแพ็คคาร์บูโรชิ่งด้วย เครื่องวิเคราะห์ธาตุ (Optical Emission Spectrometer)
- 1.4.6 ตรวจสอบระยะการแพร่ของคาร์บอนจากผิวชิ้นงาน ด้วยกล้องจุลทรรศน์แสง (Optical Microscope)
- 1.4.7 วัดความแข็งของผิวสกูอัดหลังกระบวนการแพ็คคาร์บูโรชิ่ง
- 1.4.8 ทำการชุบแข็งผิว (Case Hardening) กับชิ้นงานที่ผ่านกระบวนการแพ็คคาร์บูโรชิ่ง
- 1.4.9 ตรวจสอบโครงสร้างจุลภาคของชิ้นงานที่ผ่านการชุบแข็งผิว
- 1.4.10 ทดสอบความแข็งของชิ้นงานที่ผ่านการชุบแข็งผิว

### 1.5 ขั้นตอนการดำเนินงาน

- 1.5.1 ศึกษาระบบที่แพ็คคาร์บูโรชิ่ง และการชุบแข็งผิว
- 1.5.2 กำหนดขั้นตอนการทดลองแพ็คคาร์บูโรชิ่ง และการชุบแข็งผิว
- 1.5.3 ทำการทดลองแพ็คคาร์บูโรชิ่งกับส่วนที่ตัดมาจากการสกูอัด
- 1.5.4 ตรวจสอบปริมาณคาร์บอนของชิ้นงานที่ผ่านกระบวนการแพ็คคาร์บูโรชิ่ง ด้วยเครื่องวิเคราะห์ธาตุ (Optical Emission Spectrometer)
- 1.5.5 ตรวจสอบโครงสร้างจุลภาค และระยะการแพร่คาร์บอนด้วยกล้องจุลทรรศน์แสง (Optical Microscope)
- 1.5.6 วัดความแข็งที่ผิวสกูอัดก่อน และหลังกระบวนการแพ็คแพ็คคาร์บูโรชิ่ง
- 1.5.7 ทำการชุบแข็งผิวของชิ้นงานสกูอัดที่ผ่านแพ็คคาร์บูโรชิ่ง
- 1.5.8 ตรวจสอบโครงสร้างจุลภาค และวัดความแข็งของชิ้นงานที่ผ่านการชุบแข็งผิว
- 1.5.9 วิเคราะห์ผลการทดลอง
- 1.5.10 สรุปผลการดำเนินโครงการ และข้อเสนอแนะ

### 1.6 สถานที่ในการดำเนินโครงการ

อาคารปฏิบัติการภาควิชาศึกษาครุภัณฑ์ มหาวิทยาลัยนเรศวร

### 1.7 ระยะเวลาในการดำเนินโครงการ

พฤษภาคม 2558 – พฤศภาคม 2559



## 1.8 ชั้นเตอน และคะแนนการดำเนินโครงการ

ตารางที่ 1.1 บันทุณ ແລະ แผนการดำเนินโครงการ

การดำเนินโครงการ	ช่วงเวลา											
	พ.ศ.	น.ป.	ก.ค.	ส.ค.	ก.ย.	ต.ค.	พ.ย.	ธ.ค.	ม.ค.	ก.พ.	มี.ค.	เม.ย.
1.8.1 เตรียมซื้องานทัดหญ้า												
1.8.2 เตรียมมาเรื่องรื้อถอนและบุกร่อน												
1.8.3 เตรียมตัวรับประชุม												
1.8.4 ทำกราฟต้องผลิตภัณฑารูปเรขาคณิต												
1.8.5 ตรวจสอบบิลครองสร้างจุดกลางตัวยกห้อง จุ๊บกระดาษแม่ส่ง และวัดความแม่นยำของสเก้น												
1.8.6 ทำการขับเข็นผ้า ตรวจสอบบิลครองสร้าง จุ๊บ และวัดความแม่นยำ												
1.8.7 วิเคราะห์ผลการทดลอง												
1.8.8 สรุปผลการทดลองและขอเสนอแนะ												

## บทที่ 2

### หลักการ และทฤษฎีเบื้องต้น

การชุบแข็งผิว (Surface Hardening) [1] เป็นการเพิ่มความแข็งให้กับชิ้นงานที่บริเวณเท่านั้น ส่วนบริเวณเนื้อภายในได้ผ่านการทำให้แข็งจนถึงใจกลางนั้น ยังคงมีความอ่อนนุ่ม และเหนียวอยู่ซึ่งทำให้เหมาะสมกับการนำไปใช้งานที่ต้องเจอกับแรงบิด [2] การเสียดสี [3] และแรงกระแทก [4] ได้ดี โดยไม่ทำให้ชิ้นงานเกิดการแตกหัก ตัวอย่างชิ้นส่วนเครื่องจักรกลที่นิยมชุบแข็งผิว เช่น เพลาข้อเหวี่ยง เพลาราวลีน เพ่องเกียร์ เป็นต้น ในกระบวนการชุบแข็งผิว จะเกี่ยวข้องโดยตรงกับหลักการแพร่ของอะตอมที่ใช้ในการชุบแข็งเข้าไปผิวนี้ของชิ้นงานโดยมีรายละเอียดดังต่อไปนี้

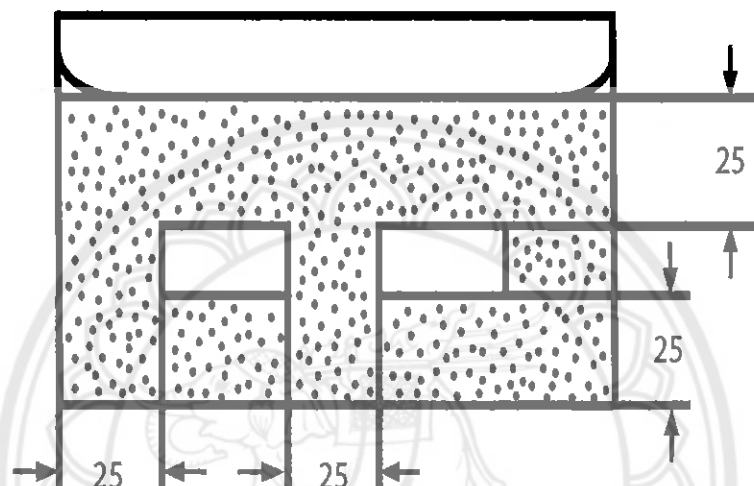
#### 2.1 การชุบแข็งผิวด้วยวิธีแพ็คคาร์บูไรซิ่ง (Packcarburizing) [1]

เหล็กที่ทำการชุบแข็งที่ผิวด้วยกรรมวิธีนี้จะต้องเป็นเหล็กที่มีปริมาณคาร์บอนต่ำประมาณร้อยละ 0.1-0.2 และอาจมีธาตุบางตัว เช่น นิกเกิล โครเมียม หรือวานเดียมผสมอยู่ในปริมาณเล็กน้อย เพื่อเพิ่มความเหนียวให้กับเหล็ก ปกติเหล็กที่มีคาร์บอนต่ำจะไม่สามารถทำการชุบแข็งด้วยวิธีธรรมชาติ เพราะมีคาร์บอนน้อยจนไม่มีโอกาสได้โครงสร้างมาร์เกนไซต์ แต่เหล็กชนิดนี้จะมีความเหนียวสูง ทนได้ดีต่อแรงบิด และแรงกระแทก หลักในการชุบด้วยวิธีนี้คือ ใช้หลักการเพิ่มปริมาณคาร์บอนให้กับบริเวณผิวเหล็กได้สูงประมาณร้อยละ 0.8 ซึ่งเป็นเหล็กคาร์บอนที่มีสมบัติชุบแข็งดีที่สุด หลังจากนั้นนำเหล็กไปทำการชุบเพื่อให้ได้ความแข็ง และความเหนียวต่อไป การทำแพ็คคาร์บูไรซิ่งอาจแบ่งตามลักษณะของตัวกลางที่ให้คาร์บอนออกเป็น 3 กลุ่ม คือ สารเพิ่มคาร์บอนแบบของแข็ง สารเพิ่มคาร์บอนแบบของเหลว และสารเพิ่มคาร์บอนแบบก้าช

##### 2.1.1 การเพิ่มโดยใช้สารเพิ่มคาร์บอนสภาพของแข็ง (Solid Carburizing)

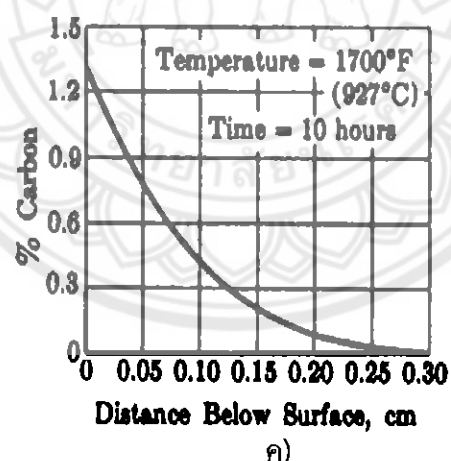
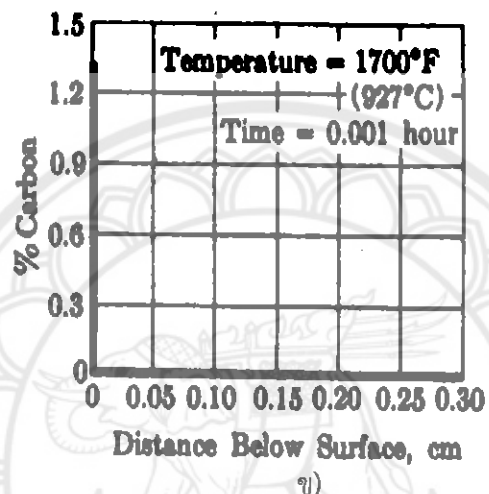
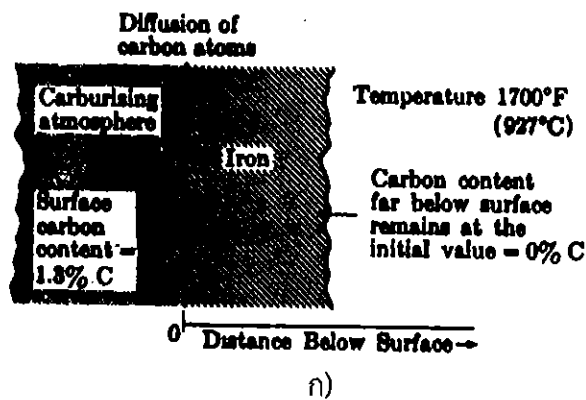
การชุบแข็งที่ผิวโดยวิธีแพ็คคาร์บูไรซิ่ง (Carburizing) วิธีการชุบแข็งที่ผิวแบบนี้มีจุดประสงค์ที่ต้องการเพิ่มปริมาณคาร์บอนให้กับผิวชิ้นงานที่ต้องการชุบแข็งที่ผิว สารเพิ่มคาร์บอนที่ใช้ได้แก่ ผงถ่านไม้ (Charcoal) ประมาณร้อยละ 70-80 โดยนำหันก ผสมกับสารเร่งปฏิกิริยา (Energizer) ได้แก่ ผงแบบเริ่มมาร์บอนเนต หรือโซเดียมคาร์บอนเนต และแคลเซียมคาร์บอนเนต รวมกันอีกประมาณร้อยละ 20-30 ตัวอย่างเช่น ถ่านไม้ ร้อยละ 74-78,  $BaCO_3$  ร้อยละ 12-15,  $Na_2CO_3$  ร้อยละ 1-1.5 และ  $CaCO_3$  ร้อยละ 3-5

การชุบแข็งที่ผิวโดยวิธีแพ็คคาร์บูไรซิ่ง ทำโดยนำเอาแท่งเหล็กที่จะชุบผิวแข็งมาบรรจุในทึบเหล็ก หรือภาชนะเคลือบที่ทนความร้อน โดยอัดผงสารเพิ่มคาร์บอนให้รอบแท่งเหล็ก และอัดให้แน่น ถ้ามีแท่งเหล็กหลาย ๆ ชิ้นบรรจุในทึบเดียวกันจะต้องวางให้ห่างกันประมาณ 20–25 มิลลิเมตร [1] หรือจะมากกว่านี้ก็ไม่มีผลเสียเมื่อบรรจุ และอัดผงสารเพิ่มคาร์บอนจนแน่นดีแล้ว จะต้องมีฝาปิดอย่างมิดชิด โดยใช้ดินทนไฟยาตามรอยให้สนิทเพื่อป้องกันมิให้อากาศแทรกเข้าไปทำการเผาไหม้กับคาร์บอนได้ แสดงดังรูปที่ 2.1



รูปที่ 2.1 การบรรจุขั้นงานชุบแข็งผิวในทึบสำหรับการชุบ [1]

จากนั้นนำเอาทึบเหล็กไปเผาในเตาจนถึงอุณหภูมิระหว่าง 950 องศาเซลเซียส เวลาที่ใช้เพิ่มปริมาณคาร์บอนจะขึ้นอยู่กับน้ำหนักของเหล็กที่จะชุบแข็งผิว และที่สำคัญก็คือความหนาของผิวแข็งที่ต้องการตามปกติถือหลักปฏิบัติง่าย ๆ คือจะนานาน 1 ชั่วโมงต่อความหนาของผิวแข็ง 0.1 มิลลิเมตร เพิ่มปริมาณของคาร์บอนที่ผิว และให้ผิวนั้นถึงใจกลางจะลดลง ดังแสดงในรูปที่ 2.2



- รูปที่ 2.2 การแพร่ซึมของคาร์บอนเข้าสู่ผิวของแท่งเหล็กระหว่างการทำแพ็คคาร์บูไรซิ่ง [1]
- แผนผังแสดงขั้นตอนที่ใช้ในการทำแพ็คคาร์บูไรซิ่ง
  - กราฟระยะการแพร่ของคาร์บอน
  - กราฟระยะการแพร่ของคาร์บอนหลังจากเวลาผ่านไป 10 ชั่วโมง

การขับแข็งที่ผิวโดยวิธีเคมีความร้อนเป็นการเปลี่ยนแปลงส่วนผสมทางเคมีของผิวเหล็กที่อุณหภูมิสูง ความแข็งที่ผิวอาจได้จากการเปลี่ยนแปลงส่วนผสมทางเคมีโดยตรง ซึ่งไม่ต้องชุบแข็งก็ได้ หรือบางกรรมวิธีต้องมีการชุบแข็งภายหลัง ทั้งนี้ขึ้นอยู่กับชนิดของธาตุสมที่ได้จากการเคมีนั้น ๆ การขับแข็งด้วยวิธีนี้จำแนกออกเป็น 2 กลุ่ม คือ

#### 2.1.1.1 การเปลี่ยนแปลงส่วนผสมทางเคมีของօอสเทนในต์

ประกอบไปด้วยคาร์บูไรซิ่ง คาร์บูไนไตรด์ และไซยาโนด์ วิธีการนี้carบอน และในตอรเจนจะแพร่ซึมเข้าไปในเฟสօอสเทนในต์

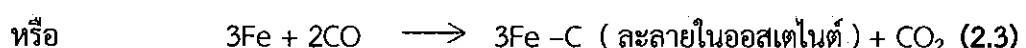
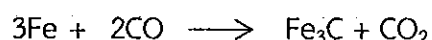
#### 2.1.1.2 การเปลี่ยนแปลงส่วนผสมทางเคมีของเฟอร์ไรต์

ได้แก่ ในไทรด์ ในตอร์คาร์บูไรซิ่ง วิธีในตอรเจน และcarบอนจะแพร่ซึมเข้าไปในเฟสเฟอร์ไรต์สารที่เป็นตัวให้carบอนประกอบไปด้วย ถ่านไม้ หรือถ่านโค้ก ผสมกับตัวเร่งปฏิกิริยา จำพวกcarบอนเนต เช่น แบนเรียมcarบอนเนต แคลเซียมcarบอนเนต โซเดียมcarบอนเนต เป็นต้น จากนั้น ใส่น้ำมัน หรือโมลัส เพื่อช่วยให้เกิดการอัดตัวที่แน่นขึ้น สารเพิ่มcarบอนโดยทั่วไป เป็นสารเพิ่มcarบอนสำเร็จรูปมีส่วนผสมของถ่านโค้กร้อยละ 25 แบนเรียมcarบอนต่อร้อยละ 12-18 โซเดียมcarบอนต่อร้อยละ 2 กำมะถันร้อยละ 0.5 อาจมีสารออร์แกนิกส์carบอนต่ออีก ร้อยละ 8 และผสมถ่านไม้เข้าไปเพื่อช่วยเพิ่มcarบอนที่ผิวได้ดีขึ้น

ปฏิกิริยาแพ็คคาร์บูไรซิ่งที่เกิดขึ้นภายในกล่องที่บรรจุชิ้นงานก้าชอกซีเจน ที่แทรกอยู่ตามช่องว่างของผงถ่าน และชิ้นงานเข้าทำปฏิกิริยากับcarบอนทำให้เกิด  $\text{CO}_2$  ซึ่งเป็นตัวทำปฏิกิริยาต่อเนื่องแล้วให้  $\text{CO}$  ดังสมการ 2.1

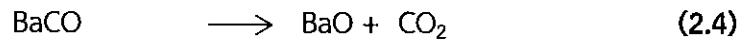


จากนั้น  $\text{CO}$  ที่เกิดขึ้นทำปฏิกิริยากับผิวเหล็ก และเกิดปฏิกิริยาต่อเนื่อง ดังสมการ 2.2 และสมการ 2.3



ซึ่งเมนไทร์เกิดขึ้นที่ผิวนอกสุดของเหล็ก จากนั้นcarบอนในซึ่งเมนไทร์สลายตัวเข้าไปในօอสเทนต์ และแพร่เข้าสู่ภายในสารที่ช่วยกระตุ้นทำให้เกิดปฏิกิริยา ได้แก่

$\text{BaCO}_3, \text{Na}_2\text{CO}_3, \text{K}_2\text{CO}_3$  และ  $\text{CaCO}_3$  จะแตกตัวให้  $\text{CO}_2$  และโลหะออกไซด์ ซึ่ง  $\text{CO}_2$  ที่ได้เป็นตัวทำปฏิกิริยากับผงถ่านทำให้ได้  $\text{CO}$  ดังสมการ 2.4 และ 2.5



ข้อดีของกรรมวิธีแพ็คคาร์บูไรซิงสามารถใช้ได้กับเตาหلامัยแบบ ประหด และให้ประสิทธิภาพสูงทั้งการผลิตปริมาณมาก และปริมาณน้อย ผงถ่านที่อัดแน่นรอบชั้นงานในกล่อง เป็นตัวป้องกันการโก่งของชั้นงานได้ดี ส่วนข้อเสียคือ ทำการชุบโดยตรงได้ประสิทธิภาพไม่ดี การควบคุมระยะการซึมลึกของชั้นผิวแข็งทำได้ค่อนข้างยากโดยเฉพาะบริเวณที่ต้องการให้ผิวแข็ง มีพื้นที่เล็ก และแคบ

### 2.1.2 ถ่านไม้

ถ่านไม้ (Charcoal) โดยทั่วไปแล้วถ่านสีดำจะนุ่ม และมีเปลือกไม้ติดอยู่จะมีสมบัติ ที่ ติดไฟง่าย และมีพลังงานความร้อนเพียงพอที่จะหลอมละลายโลหะ และเหล็กได้ ถ่านเก็บทั้งหมด ที่มีการผลิตทั่วโลกจะมีความคล้ายคลึงกับถ่านชนิดนี้เพาท์อุณหภูมิระหว่าง 500–700 องศาเซลเซียส ส่วนประกอบของเนื้อไม้ทุกชนิด ประกอบไปด้วยแร่ธาตุ และสารต่าง ๆ เมื่อนำมาเป็นเชื้อเพลิงหันในรูปของฟืน และถ่านจะเผาไหม้ ส่วนประกอบของแร่ธาตุ และสารต่าง ๆ จะระเหยออกมานั้นรูปของ ไอร้อน และกลิ่น ซึ่งสำคัญที่สุดคือ ควัน ส่วนประกอบ และสารต่างๆ ดังกล่าวจะมีสารตัวหนึ่ง คือ สารทาร์ (Tar) ถูกสักดัดออกมาน้ำด้วยซึ่งการแพทเทิร์ยยอมรับว่า สารทาร์ คือ สารก่อมะเร็งตัวหนึ่ง ถ่านที่นำมาเป็นเชื้อเพลิงในการหุงอาหาร หรือใช้ถ่าน ปิ้ง ย่าง อาหาร จึงควรใช้ถ่านที่ผ่านกรรมวิธี การผลิตที่ทำให้ไม้กลایเป็นถ่านสมบูรณ์ที่สุด ค่าคงตัวปริมาณคาร์บอน ถ่านไม้ต่ำกว่าร้อยละ 85 จะมีสารระเหยปะปนออกมานั้นติดไฟน้อยที่สุด การประเมินคุณภาพ และสมบัติทางเชื้อเพลิง สามารถวิเคราะห์ตามมาตรฐาน ASTM (American Society For Testing And Materials) ด้วยค่าต่าง ๆ ได้แก่ ค่าความร้อน (Heating Value) ปริมาณสารที่เผาไหม้ได้ (Volatile Matters) ค่าคงตัวปริมาณคาร์บอน (Fixed Carbon) ปริมาณเถ้า (Ash Content) และปริมาณความชื้น (Moisture Content) [16] โดยถ่านไม้ต่าง ๆ มีองค์ประกอบที่สำคัญดังตารางที่ 2.1

ตารางที่ 2.1 องค์ประกอบต่าง ๆ ของถ่านไม้ [16]

ชื่อตัวอย่าง	Proximate Analysis (As Received)				ค่าความร้อน แคลอรีต่อ กรัม
	ร้อยละ ความชื้น	ร้อยละ เด็ก	ร้อยละ สารระเหย	ร้อยละ คาร์บอน คงตัว	
ถ่านไม้ยูคาลิปตัส	3.92	1.12	25.97	68.99	7,689.50
ถ่านจากการเผาแก่นไม้เบนจพรรณ	11.92	5.56	6.49	76.76	7,601.00
ถ่านไม้สักเตา	7.6	4.23	9.64	76.14	7,511.10
ถ่านไม้มะขามเทศ	3.61	4	21.05	71.35	7,391.53
ถ่านไม้กระถินยักษ์	5	3.2	16.3	75.5	7.138.50
ถ่านไม้สนธารี	5.97	4.09	9.51	80.43	7,132.09

## 2.2 การแพร่ของอะตอม

การแพร่ของอะตอม (Diffusion of Atom) เป็นการเคลื่อนที่ของอะตอมจากจุดหนึ่งไปยังอีกจุดหนึ่ง ซึ่งเกิดขึ้นได้ทั้งในสภาพของแข็ง ของเหลว และก๊าซ การแพร่ในสภาพของเหลว และก๊าซ นั้นเกิดขึ้นได้ง่าย แต่การแพร่ในสภาพของแข็งนั้นจะต้องอาศัยตัวช่วยกระตุ้นให้เกิดการแพร่ อันได้แก่ ความร้อน ยิ่งมีพลังงานความร้อนมากเท่าไหร่ ให้เกิดการแพร่ได้ดีขึ้น อัตราการเคลื่อนที่ของอะตอมมีความสัมพันธ์กับอุณหภูมิหรือพลังงานความร้อน ดังสมการสมการ 2.6 ของอาร์เรนเนียส (Arrhenius)

$$D = D_0 \exp\left(\frac{-Q}{RT}\right) \quad (2.6)$$

เมื่อ  $D_0$  คือ ค่าคงที่

$R$  คือ ค่าคงที่ของแก๊ส ( $1.987 \text{ cal/mol} \cdot \text{K}$ )

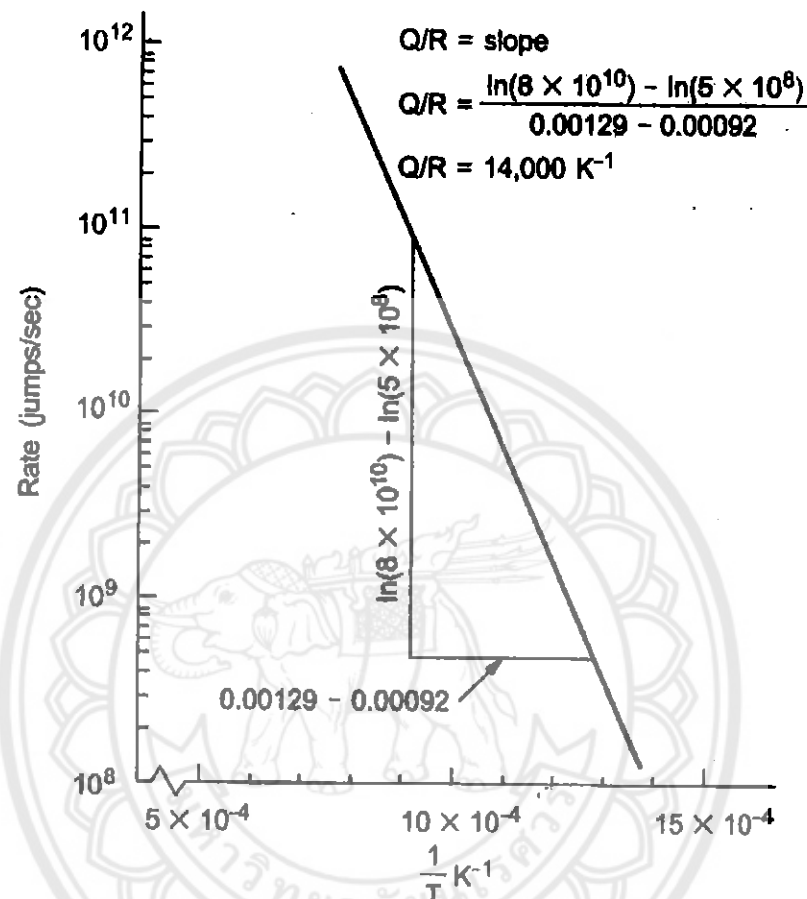
$T$  คือ อุณหภูมิสัมบูรณ์ ( $\text{K}$ )

$Q$  คือ พลังงานกระตุ้น ( $\text{cal/mol}$ )

สมการของอาร์เรนเนียสสามารถเขียนในรูปของลอการิทึมธรรมชาติได้ดังสมการ 2.7

$$\ln(D) = \ln(D_0) - \frac{Q}{RT} \quad (2.7)$$

เราสามารถพล็อตกราฟที่แสดงความสัมพันธ์ระหว่าง  $\ln(D)$  กับ  $1/T$  (ดังแสดงในรูป ที่ 2.3) โดยความชันของเส้นกราฟจะเป็นค่า  $-Q/R$  เราสามารถคำนวณหาค่าพลังงานกระตุ้น ( $Q$ ) ของกระบวนการได้จากความชันของเส้นกราฟดังกล่าว



รูปที่ 2.3 กราฟฟาร์เรนีย์ระหว่าง  $\ln(D)$  กับ  $1/T$  [20]

### 2.2.1 กลไกการแพร่ (Diffusion Mechanisms)

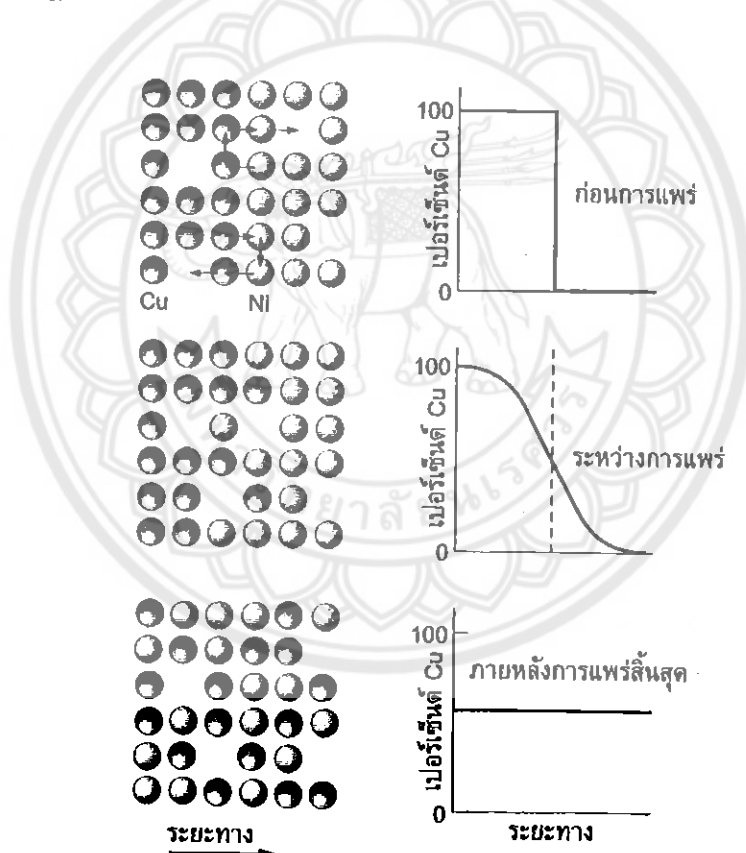
การแพร่ของอะตอมของโลหะบริสุทธิ์เป็นการเคลื่อนที่ของอะตอมของตัวเองจากที่หนึ่งไปยังอีกที่หนึ่ง กระบวนการแพร่แบบนี้ เราเรียกว่าการแพร่โดยอะตอมของตัวเอง (Self-Diffusion) แต่กระบวนการการแพร่โดยอะตอมที่ต่างชนิดกันหรืออะตอมของวัสดุที่ต่างกัน ดังแสดงในรูปที่ 2.4 เป็นการแพร่เข้าหากันระหว่างอะตอมของทองแดง (Cu) และนิกเกิล (Ni) [14] นั้นมีกลไกการแพร่อยู่ 2 อาย่างคือ

### 2.2.1.1 การแพร่แบบช่องว่าง (Vacancy Diffusion)

การแพร่แบบช่องว่างนี้จะเกิดขึ้นจากการเคลื่อนที่ของอะตอมจากที่หนึ่งไปยังอีกที่หนึ่ง เมื่อมีพลังงานกระตุ้นทำให้อะตอมสั่นสะเทือน และเคลื่อนที่เปลี่ยนตำแหน่งโดยการเคลื่อนที่จากตำแหน่งหนึ่งสู่ที่ว่างอีกตำแหน่งหนึ่งจะทำให้เกิดช่องว่างเกิดขึ้นจึงเรียกว่าการเคลื่อนที่แบบช่องว่าง ดังแสดงในรูปที่ 2.5 ก)

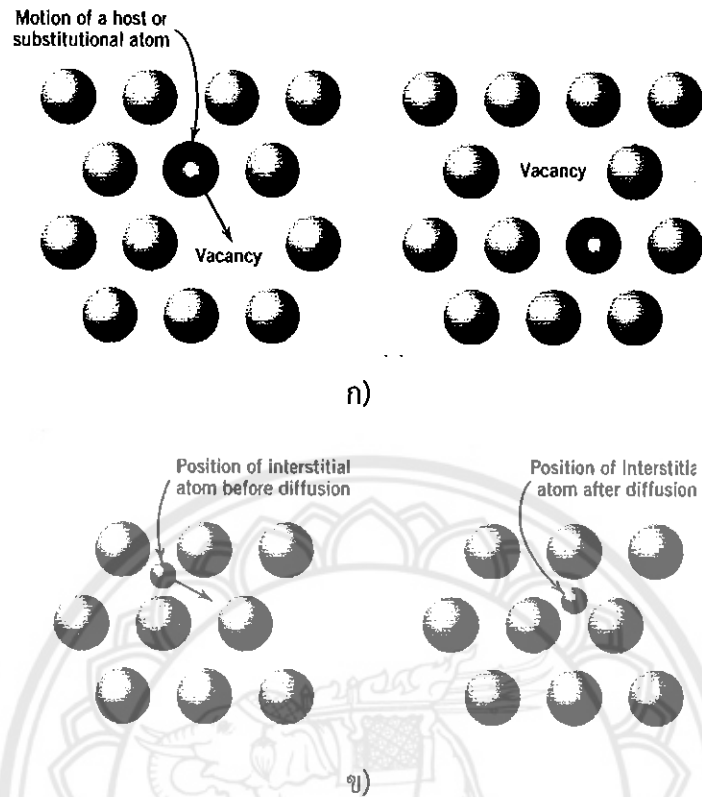
### 2.2.1.2 การแพร่แบบแทรกที่ (Interstitial Diffusion)

เป็นการแพร่ที่เกิดกับอะตอมที่มีขนาดเล็กเคลื่อนที่ไปแทรกอยู่ตามช่องระหว่างอะตอมที่มีขนาดใหญ่กว่า ดังแสดงในรูปที่ 2.5 ข) พลังงานกระตุ้นสำหรับการแพร่เป็นพลังงานที่ใช้ในการทำให้อะตอมเคลื่อนที่จากที่หนึ่งไปยังอีกที่หนึ่ง ดังแสดงในรูปที่ 2.6 พลังงานที่ใช้ทำให้อะตอมเคลื่อนที่จะต้องสูงกว่าพลังงานแบรร์ (Energy Barriers) ซึ่งเรียกพลังงานนี้ว่า พลังงานกระตุ้น (Activate Energy ; Q) โดยพลังงานนี้จะได้จากการให้ความร้อนแก่อะตอม



รูปที่ 2.4 กระบวนการแพร่ของทองแดง (Cu) สู่นิกเกิล (Ni)

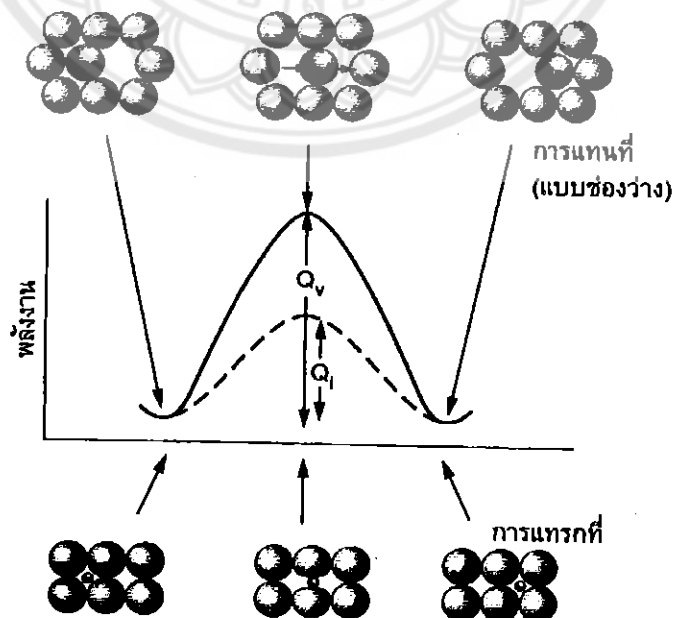
โดยกระบวนการแพร่เกิดขึ้นแบบสุ่ม (Random) [16]



รูปที่ 2.5 กลไกการแพร่ [5]

ก) แบบซ่องว่าง

ข) แบบแทรกหีบ



รูปที่ 2.6 พลังงานกระตุนให้ออกตัวเมกิดการแพร่ [6]

**ตารางที่ 2.2 ข้อมูลการแพร์ของวัสดุต่าง ๆ [6]**

ค่าการแพร	Q (cal/mol)	D <sub>o</sub> (cm <sup>2</sup> /sec)
การแพรแบบแทรกที่		
การบอนในเหล็กโครงสร้างผลึกแบบ FCC	32,900	0.23
การบอนในเหล็กโครงสร้างผลึกแบบ BCC	20,900	0.011
ในไตรเจนในเหล็กโครงสร้างผลึกแบบ FCC	34,600	0.0034
ในไตรเจนในเหล็กโครงสร้างผลึกแบบ BCC	18,300	0.0047
ไฮโดรเจนในเหล็กโครงสร้างผลึกแบบ FCC	10,300	0.0063
ไฮโดรเจนในเหล็กโครงสร้างผลึกแบบ FCC	3,600	0.0012
การแพรโดยตัวเอง (การแพรแบบซ่องว่าง)		
อะก้าในอะก้าในโครงสร้างผลึกแบบ FCC	25,900	1.27
อะลูมิเนียมในอะลูมิเนียมโครงสร้างผลึกแบบ FCC	32,200	0.1
ทองแดงในทองแดงโครงสร้างผลึกแบบ FCC	49,300	0.36
เหล็กในเหล็กโครงสร้างผลึกแบบ FCC	66,700	0.65
สังกะสีในสังกะสีโครงสร้างผลึกแบบ HCP	21,800	0.1
แมกนีเซียมในแมกนีเซียมโครงสร้างผลึกแบบ HCP	32,200	1
เหล็กในเหล็กโครงสร้างผลึกแบบ BCC	58,900	4.1
หั้งสเทนในหั้งสเทนโครงสร้างผลึกแบบ BCC	143,300	1.88
ชิลคอนในชิลคอน (โคเวเลนต์)	110,000	1,800.00
การบอนในการบอน (โคเวเลนต์)	163,000	5
การแพรโดยอะตอมต่างชนิด (การแพรแบบซ่องว่าง)		
นิกเกิลในทองแดง	57,900	2.3
ทองแดงในนิกเกิล	61,500	0.65
สังกะสีในทองแดง	43,900	0.78
นิกเกิลในเหล็ก FCC	64,000	4.1

ตารางที่ 2.2 (ต่อ) ข้อมูลการแพร่ของวัสดุต่าง ๆ [6]

คู่การแพร่	Q (cal/mol)	$D_o$ ( $\text{cm}^2/\text{sec}$ )
ทองในเงิน	45,500	0.26
เงินในทอง	40,200	0.072
อะลูมิเนียมในทองแดง	39,500	0.045
อะลูมิเนียมใน $\text{Al}_2\text{O}_3$	114,000	28
ออกซิเจนใน $\text{Al}_2\text{O}_3$	152,000	1,900.00
แมกนีเซียมใน $\text{MgO}$	79,000	0.249
ออกซิเจนใน $\text{MgO}$	82,100	0.000043

### 2.2.2 อัตราการแพร่ (Rate of Diffusion)

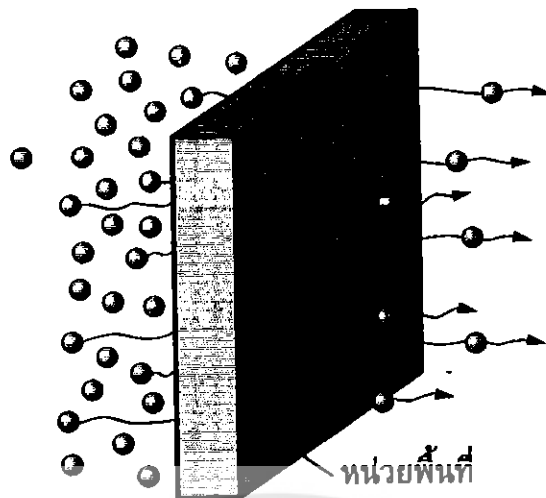
อัตราการแพร่ของอะตอมสามารถวัดเป็น พลักซ์ (Flux ; J) ซึ่งหมายถึง อัตราการถ่ายโอนของอะตอมจากที่ที่มีความเข้มสูงไปยังที่ที่มีความเข้มต่ำ โดยหาอกรากเป็นจำนวนอะตอมที่แพร่ผ่านระบบเป็นหน่วยพื้นที่ตามกฎข้อแรกของฟิก (Fick's first law) คือ

$$J = -D \frac{\Delta c}{\Delta x} \quad (2.8)$$

เมื่อ J คือ พลักซ์ (อะตอม/ $\text{cm}^2 \cdot \text{sec}$ )

D คือ สัมประสิทธิ์การแพร่ ( $\text{cm}^2/\text{sec}$ )

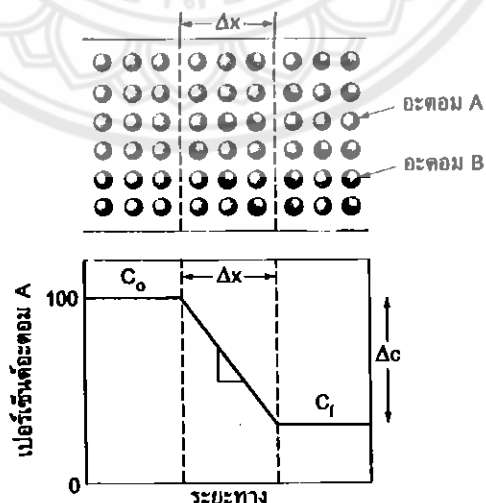
$\frac{\Delta c}{\Delta x}$  คือ เกรเดียนต์ของความเข้มข้น (Concentration Gradient) (อะตอม/ $\text{cm}^2 \cdot \text{sec}$ )



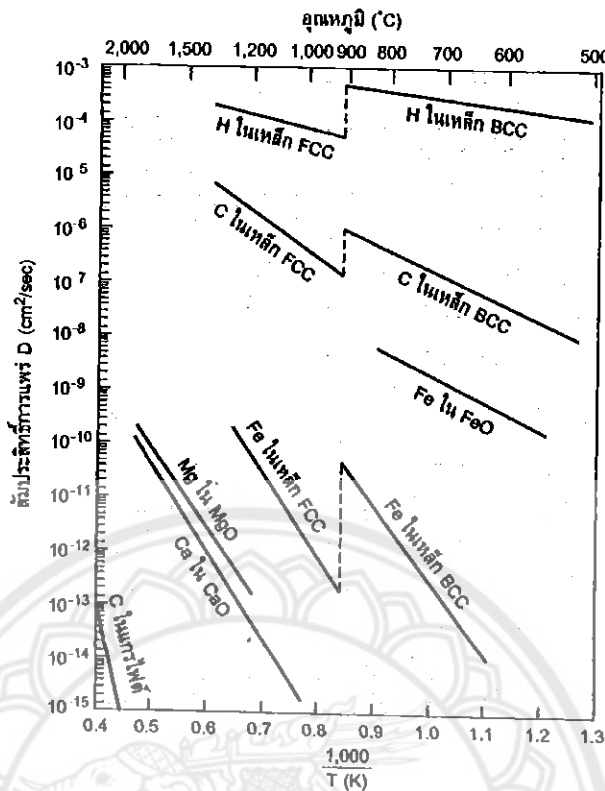
รูปที่ 2.7 พลักซ์ ขณะเกิดการแพร่จากจำนวนของอะตอม  
ที่ซึมผ่านต่อหน่วยพื้นที่ต่อหน่วยเวลา [6]

#### 2.2.2.1 ความเข้มข้นหรือการเปลี่ยนแปลงความเข้มข้นตามระยะทาง

บางครั้งเรียกว่าการเดินตัวของความเข้มข้นเป็นความสัมพันธ์ของปริมาณความเข้มข้นของอะตอม ( $\Delta c$ ) ที่เปลี่ยนแปลงไปตามระยะทาง ( $\Delta x$ ) ดังแสดงในรูปที่ 2.8 จะเกิดขึ้นเมื่อวัสดุ 2 ชนิดที่มีส่วนผสมที่แตกต่างกันมาสัมผัสกัน หรือเกิดจากก้าชหรือของเหลวที่มีความเข้มข้นมาก ๆ อยู่ค้องรอบวัสดุแข็ง แล้วเกิดการแพร่หรือถ่ายเทองต่อกันที่มีความเข้มข้นสูงไปยังที่ที่มีความเข้มข้นต่ำ



รูปที่ 2.8 การเปลี่ยนแปลงความเข้มข้นของอะตอมที่เกิดการแพร่ตามระยะทาง [17]



รูปที่ 2.9 สัมประสิทธิ์การแพร่ ( $D$ ) เป็นฟังก์ชันของอุณหภูมิของวัสดุต่าง ๆ [6]

เมื่ออุณหภูมิของวัสดุสูงขึ้นค่าสัมประสิทธิ์การแพร่ และพลักซ์ของอะตอมก็จะเพิ่มขึ้น ด้วย ดังนั้นที่อุณหภูมิสูง ๆ อัตราการแพร่จะเกิดสูงขึ้น เนื่องจากมีพลังงานกระตุ้นที่สูง ด้วยเหตุนี้ กระบวนการแพร่ที่กระทำกับโลหะหรือเซรามิกจึงกระทำการค่อนข้างสูง

### 2.2.2.2 ชนิดของโครงสร้างผลึก

โครงสร้างผลึกแต่ละชนิดจะมีโครงสร้างของผลึกที่แตกต่างกัน เช่น เหล็กกล้า คาร์บอน โดยค่าสัมประสิทธิ์การแพร่ของคาร์บอนในเหล็กที่มีโครงสร้างแบบ BCC จะมีค่าเท่ากับ  $10-12$  ตารางเมตรต่อวินาที ที่อุณหภูมิ  $500$  องศาเซลเซียส ซึ่งมากกว่าค่าสัมประสิทธิ์การแพร่ของ คาร์บอนเหล็กที่มีโครงสร้างแบบ FCC ที่มีค่าสัมประสิทธิ์ ( $5 \times 10^{-15}$  ตารางเมตรต่อวินาที) ที่อุณหภูมิ  $500$  องศาเซลเซียส (ดูตารางที่ 2.3) ที่เป็นเช่นนี้ เพราะโครงสร้างผลึกแบบ FCC จะมีค่า APF ( $0.74$ ) มากกว่าโครงสร้างผลึกแบบ BCC ( $0.68$ )

### 2.2.2.3 ชนิดของกลไกในการแพร่

กลไกการแพร่แบบแทรกที่หรือแบบซ่องว่างจะส่งผลต่อสภาพของการแพร่เป็นอย่างมาก หากอะตอมที่มีขนาดเล็กจะสามารถทำให้เกิดการแพร่แบบแทรกที่ในโครงสร้างของผลึกที่มีขนาดใหญ่ได้ค่อนข้างง่าย เช่น อะตอมของคาร์บอนในโครงสร้าง BCC หรือ FCC ของเหล็กกล้า ส่วนท้องเดงจะแพร่เข้าไปในโครงสร้างผลึกของอะลูมิเนียมแบบกลไกซ่องว่าง ทั้งนี้ก็เพราะอะตอมทั้งสอง มีขนาดใกล้เคียงกัน

#### 2.2.2.4 เวลาในการแพร่

กลไกการเกิดการแพร่ต้องอาศัยเวลา เพราะหน่วยของฟลักซ์เป็นจำนวน  $\text{atom}/\text{cm}^2 \cdot \text{sec}$  ดังนั้นหากมีอัตราความจำานวนมากก็จะต้องใช้เวลานานขึ้น อย่างไรก็ตามเวลาในการแพร่สามารถลดลงได้หากเราเพิ่มอุณหภูมิให้สูงขึ้น

ตารางที่ 2.3 สัมประสิทธิ์การแพร่ของวัสดุต่าง ๆ ที่อุณหภูมิ 500 องศาเซลเซียส และ 1000 องศาเซลเซียส [15]

ตัวถุกลະถาย	ตัวทำละลาย (โครงสร้างหลัก)	สัมประสิทธิ์การแพร่ (Diffusivity), $\text{m}^2/\text{sec}$	
		500°C (930°F)	1000°C (1830°F)
คาร์บอน	เหล็ก FCC	$5 \times 10^{-15}$	$3 \times 10^{-11}$
คาร์บอน	เหล็ก BCC	$10^{-12}$	$2 \times 10^{-15}$
เหล็ก	เหล็ก FCC	$2 \times 10^{-15}$	$2 \times 10^{-16}$
เหล็ก	เหล็ก BCC	$10^{-20}$	$3 \times 10^{-14}$
นิกเกิล	เหล็ก FCC	$10^{-23}$	$2 \times 10^{-16}$
แมงกานีส	เหล็ก FCC	$3 \times 10^{-24}$	$10^{-16}$
สังกะสี	ทองแดง	$4 \times 10^{-18}$	$5 \times 10^{-13}$
ทองแดง	อะลูมิเนียม	$4 \times 10^{-14}$	$10^{-10}$
ทองแดง	ทองแดง	$10^{-18}$	$2 \times 10^{-13}$
เงิน	เงิน (ผลึก)	$10^{-17}$	$10^{-12}$
เงิน	เงิน (ขอบเกรน)	$10^{-11}$	-
คาร์บอน	ไทเทเนียม HCP	$3 \times 10^{-16}$	$2 \times 10^{-11}$

#### 2.2.3 การแพร่ในสถานะไม่คงตัว (Non-Steady State)

การแพร่ในสถานะไม่คงตัวจะเป็นกระบวนการแพร่ที่ความเข้มข้นของอัตราจะมีการเปลี่ยนแปลงตามเวลา เช่น เหล็กที่มีอัตราความจำานวนของคาร์บอนแพร่เข้าไปบริเวณผิว เมื่อเวลาผ่านไปนาน ความเข้มข้นของอัตราจะมีการเปลี่ยนแปลง ซึ่งการแพร่ในสถานะไม่คงตัวนี้จะเป็นไปตามกฎข้อที่สองของฟิก (Fick's second law) ดังนี้

$$\frac{c_s - c_x}{c_s - c_0} = \operatorname{erf}\left(\frac{x}{2\sqrt{Dt}}\right) \quad (2.10)$$

เมื่อ  $C_s$  คือ ความเข้มข้นของอัตราที่ผิวดวงวัสดุ

$C_0$  คือ ความเข้มข้นของอัตราที่อยู่ในเนื้อของวัสดุก่อนเกิดการแพร่

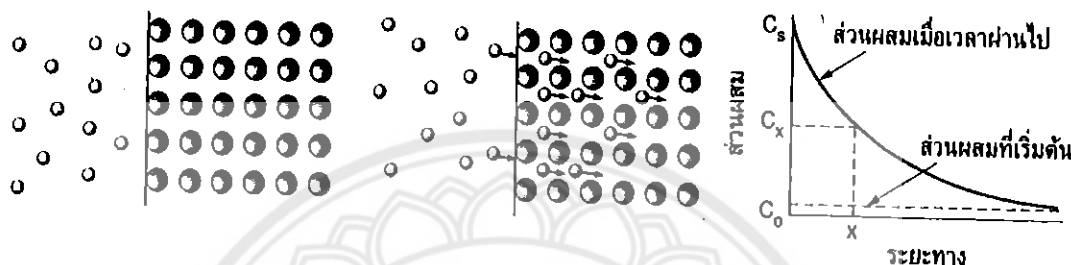
$C_x$  คือ ความเข้มข้นของอัตราที่ระยะห่างจากผิว ( $x$ ) ที่เวลา ( $t$ )

D คือ สัมประสิทธิ์การแพร์ของอะตอม

X คือ ระยะทางจากผิว

t คือ เวลา

erf คือฟังก์ชันคลาดเคลื่อน (Error Function) ทางคณิตศาสตร์ ความเข้มข้นของอะตอม เมื่อเวลาเปลี่ยนแปลงได้แสดงไว้ในรูปที่ 2.10 และค่าฟังก์ชันคลาดเคลื่อนสามารถหาได้จากตารางที่ 2.4



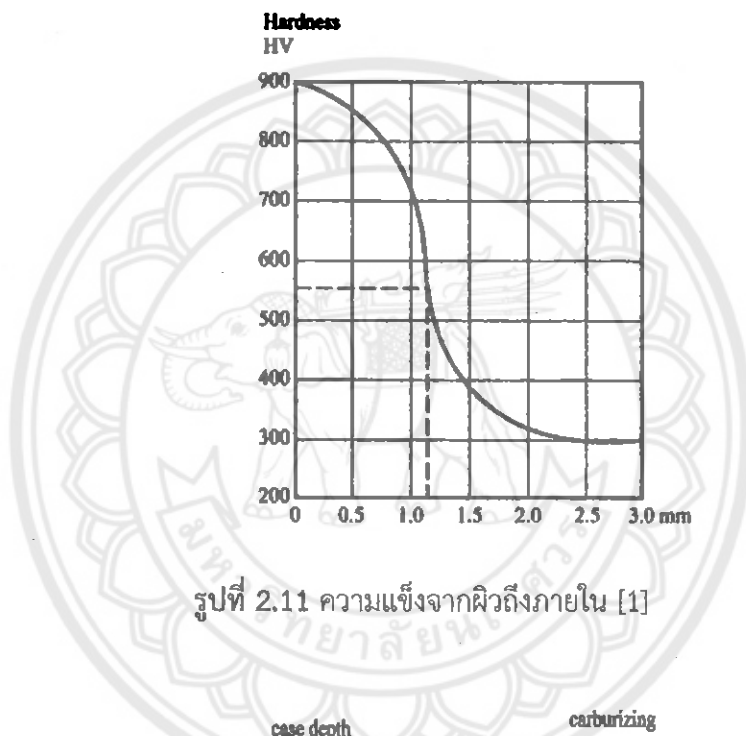
รูปที่ 2.10 การแพร์ของอะตอมสู่ผิวของวัสดุ ตามกฎข้อที่สองของพีค [6]

ตารางที่ 2.4 ฟังก์ชันคลาดเคลื่อนสำหรับกฎข้อที่สองของพีค [6]

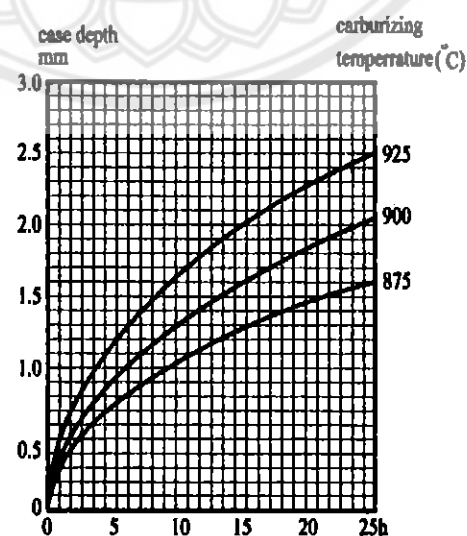
$\frac{x}{2\sqrt{Dt}}$	$\text{erf}\left(\frac{x}{2\sqrt{Dt}}\right)$
0	0
0.1	0.1125
0.2	0.2227
0.3	0.3286
0.4	0.4284
0.5	0.5205
0.6	0.6039
0.7	0.6778
0.8	0.7421
0.9	0.797
1	0.8427
1.5	0.9661
2	0.9953

### 2.3 ความหนาผิวแข็ง (Case Depth) [1]

คือความหนาหรือความลึกของผิวแข็งที่มีความแข็งที่สูงกว่า 550 HV หรือประมาณ 500 HB การวัดความหนาผิวแข็งนี้จะวัดจากแท่งเหล็กตัวอย่าง หลังจากการขึ้นผิวแข็งแล้วจะตัด หรือตีหัก แล้วขัดให้เรียบเพื่อสะเดาะต่อการวัดความแข็งจากผิวลึกเข้ามากว่ายใน จากนั้นจึงไปพลีอตกราฟ ระหว่างความแข็งกับระยะที่ห่างจากผิวระยะผิวลึกเข้ามาจนถึงระดับความแข็ง 550 HV คือ ค่าความหนาของผิวแข็ง (Case Depth) ซึ่งค่าความหนาผิวแข็งนี้จะขึ้นอยู่กับอุณหภูมิ และเวลา ที่ใช้ในการทำแพ็คคาร์บูเรชั่น แสดงดังรูปที่ 2.11



รูปที่ 2.11 ความแข็งจากผิวถึงภายใน [1]



รูปที่ 2.12 ความหนาของผิวแข็งสัมพันธ์กับเวลาและอุณหภูมิ [1]

## 2.4 บทบาทของธาตุบางตัวในการทำแพ็คคาร์บูโรเชิง [7]

2.4.1 แมงกานิส มีบทบาทในการทำкар์บูโรเชิง โดยทำให้การบอนสามารถแทรกซึมเข้าสู่เนื้อเหล็กได้ง่ายขึ้น และช่วยความหนาของผิวแข็ง แต่ไม่ควรจะมีแมงกานิสในเหล็กมากเกินกว่าร้อยละ 0.9 เพราะจะมีส่วนทำให้เกิดอสเทนในที่เหลือตอกด้านตามบริเวณผิว มีส่วนทำให้เกิดรอบแทรกได้ง่ายในขณะทำการชุบ

2.4.2 ชิลิกอน ไม่มีบทบาทในการทำкар์บูโรเชิง เพราะจะทำให้เกิดกราไฟต์ในขณะทำการบูโรเชิง เป็นการต้านการแพร่ของสารบอนเข้าสู่เนื้อเหล็กให้ช้าลง เหล็กที่จะทำการชุบแข็งด้วยวิธีนี้จะต้องมีปริมาณชิลิกอนไม่เกินร้อยละ 0.3

2.4.3 นิเกิล มีส่วนช่วยเพิ่มความเหนียวและเพิ่ม Hardenability ให้กับเหล็ก แต่นิเกิลมีส่วนทำให้เกิดกราไฟต์คล้ายคลึงกับชิลิกอนเป็นการต้านการแพร่ซึ่งของสารบอนให้ช้าลง ให้เหล็กชุบแข็งผิวอาจผสมนิกเกิลได้สูงถึงร้อยละ 5 ทำให้มีต้องชุบแข็งเหล็กในน้ำ ชุบนำมันก็จะได้มาร์เกนไซต์การทำ Normalizing อาจตัดออกได้เพราะเหล็กมีความเหนียว และความแข็งแรงสูงอยู่แล้ว

2.4.4 โครเมียม มีส่วนช่วยเพิ่มความแข็ง และความแข็งแรงให้กับเหล็ก และช่วยเพิ่มความหนาของผิวแข็งให้กับเหล็กแต่จะมีข้อเสียตรงที่ความเหนียวจะลดลง เพราะโครเมียมมีส่วนทำให้เกรนของเหล็กขยายตัวได้มากในขณะทำการบูโรเชิงซึ่งจึงควรผสมโครเมียมไม่เกินร้อยละ 1

2.4.5 โมลิบดินัมและวานเดียม ทั้งสองธาตุนี้มีบทบาทเพิ่มทั้งความแข็งผิว และความหนาของผิวแข็ง ต้านทานการขยายตัวของเกรนในขณะทำการบูโรเชิง แต่ถ้าผสมเกินกว่าร้อยละ 0.2 จะทำให้ Hardenability ของเหล็กลดลง และธาตุสองตัวนี้มีราคาค่อนข้างแพง จึงไม่สมควรผสมในเหล็ก สำหรับทำการบูโรเชิง

## 2.5 โครงการวิจัยที่เกี่ยวข้อง

จากการศึกษางานวิจัยที่เกี่ยวกับการทำแพ็คคาร์บูโรเชิง ทำให้ทราบถึงผลของอุณหภูมิและเวลาที่ใช้ในการทำแพ็คคาร์บูโรเชิงนั้นมีผลต่อค่า質量โครงสร้างจุลภาคของเหล็กกล้าcarbonต่ำ ช่วยเพิ่มสมบัติเชิงกลของเหล็กให้มีความแข็งมากขึ้นโดยเฉพาะที่ผิวของชิ้นงาน และเนื้อภายในของชิ้นงานจะคงความเหนียวไว้

กันยาทิพย์ ตันติคมน์ [8] ทำการอบcarbonบูโรเชิงของเหล็ก AISI 1015 และเหล็ก AISI 4115 และเพื่อศึกษาอิทธิพลของส่วนผสมระหว่างถ่านไม้กับสารเร่งปฏิกริยาแบบเริ่มcarbonบนเนต และเวลาการอบcarbonบูโรเชิงต่อค่าความลึกผิวเหล็กทั้ง 2 ชนิด โดยในการทดลองได้ปรับเปลี่ยนเวลาการอบcarbonบูโรเชิงเป็น 3 6 9 และ 12 ชั่วโมง ส่วนผสมถ่านไม้กับแบบเริ่มcarbonบนเนต เป็นร้อยละ 95:5 90:10 85:15 และ 80:20 โดยน้ำหนัก จากผลการทดลอง เวลาการอบชุบcarbonบูโรเชิงมีอิทธิพลต่อค่าความแข็งและความลึกผิวแข็งมากกว่าอัตราส่วนของถ่านไม้แบบเริ่มcarbonบนเนต ค่าความแข็งจะเพิ่มขึ้นอย่างชัดเจนเมื่อใช้เวลาอบ 9 และ 12 ชั่วโมง จากการทดลองนี้พบว่าส่วนผสมระหว่างถ่าน

ไม่กับแบบเรี่ยมкарบอเนตที่มีผลต่อความลึกผิวแข็งมากที่สุดคือร้อยละ 80:20 โดยน้ำหนักจากค่าความลึกผิวแข็งที่ 550 HV

มุ่ยัมมุ เจและ แฉะ佾ะ [9] ทำการศึกษาการขับผิวแข็งเหล็กกล้า 5115 ซึ่งใช้ทำอุปกรณ์ชิ้นส่วนเครื่องจักร ที่ต้องได้รับการกรรม ความล้า และมีการเสียดสีระหว่างการใช้งานสูง เช่น ชุดเพิงเครื่องยนต์ เพิงห้าย เพลาส่งกำลังอุปกรณ์ชิ้นส่วนของเครื่องจักรต่าง ๆ และถูกปืนทันการเสียดสี และการกระแทกต่าง ๆ เมื่อทำการแพ็คคาร์บูโรเชิง ที่อุณหภูมิต่างกัน คือ 850 องศาเซลเซียส 950 องศาเซลเซียส และ 1050 องศาเซลเซียส ตามลำดับในแต่ละอุณหภูมิจะใช้เวลาต่างกันคือ 2 4 และ 6 ชั่วโมง ผลที่ได้จากการทดสอบการเพิ่มอุณหภูมิ ทำให้การบอนแทรกตัวไปในผิวมากขึ้นเช่นกัน ก่อนการขับผิวแพ็คคาร์บูโรเชิง เหล็ก 5115 มีโครงสร้างเป็น เพิร์ลไลต์ และ เพอร์ไทร์ หลังจากการทำ แพ็คคาร์บูโรเชิง ที่อุณหภูมิ 850 องศาเซลเซียส ใช้เวลา 2 4 และ 6 ชั่วโมง จะได้โครงสร้างเป็น มาร์เทนไซต์ ที่อุณหภูมิ 950 องศาเซลเซียส ใช้เวลา 2 4 ชั่วโมง จะได้โครงสร้างเป็น ออสเตรนไนท์ที่ตอกค้างและเบนในที่ล่าง ที่อุณหภูมิ 950 องศาเซลเซียส เวลา 6 ชั่วโมง ได้โครงสร้างเป็น เป็นมาร์เกนไซต์ที่อุณหภูมิ 1050 องศาเซลเซียส ใช้เวลา 2 4 และ 6 ชั่วโมง ได้โครงสร้างเป็น ออสเตรนไนท์ และ เบนในที่ สรุปอุณหภูมิที่เหมาะสมในการขับผิวแข็งแพ็คคาร์บูโรเชิง คือ 950 องศาเซลเซียส และเวลาที่เหมาะสมคือ 6 ชั่วโมง ได้ความแข็ง 670 HV ระยะชีมลึก 1.7 มิลลิเมตร

ชลธิชา บุญยะดาด และ佾ะ [10] ได้ทำการศึกษาตัวแปรที่มีอิทธิพลต่อสมบัติเชิงกลในการทำ แพ็คคาร์บูโรเชิง ของเหล็ก AISI 1010 โดยทำการทดสอบบัวสุด และวิเคราะห์ผลการทดสอบด้วย วิธีสถิติ เพื่อหาความสัมพันธ์ระหว่างอุณหภูมิ และเวลาที่มีผลต่อความแข็งความทนต่อแรงดึง โมดูลัส ความยืดหยุ่น เปอร์เซ็นต์ความยืดหยุ่น รวมทั้งศึกษาโครงสร้างจุลภาคของเหล็กที่ผ่านกระบวนการแพ็คคาร์บูโรเชิง ผลลัพธ์ของการศึกษาตัวแปรในการทำแพ็คคาร์บูโรเชิง พบราก่อนการขับผิวแข็ง ชิ้นงานมีโครงสร้างเป็นเพอร์ไทร์ทั้งหมด หลังจากการขับผิวแข็งที่อุณหภูมิ 900 องศาเซลเซียส ที่เวลา 1 ชั่วโมง และ 2 ชั่วโมง และ 950 องศาเซลเซียส ที่เวลา 1 ชั่วโมง และ 2 ชั่วโมง ที่ขอบชิ้นงานจะมีโครงสร้างเป็นเพิร์ลไลต์ (สีดำ) ทดสอบความแข็งก่อนการขับผิวแข็ง ค่าความแข็งของชิ้นงานจะมี ความแข็ง (HB) เฉลี่ย 144.24 หลังจากการขับผิวแข็งที่อุณหภูมิ 900 องศาเซลเซียส และ 950 องศาเซลเซียส ที่เวลา 1 ชั่วโมง และ 2 ชั่วโมง จะมีความแข็ง (HB) เฉลี่ย 177.44 184.25 194.49 และ 254.71 ตามลำดับ การทดสอบค่าแรงดึง ก่อนการขับผิวแข็งผิวชิ้นงานจะมีความทนต่อ แรงดึงเฉลี่ย  $250 \text{ (N/mm}^2\text{)}$  หลังการขับผิวแข็งที่อุณหภูมิ 900 องศาเซลเซียส และ 950 องศาเซลเซียส ที่เวลา 1 ชั่วโมง และ 2 ชั่วโมง จะมีความทนต่อแรงดึงเฉลี่ย  $353.84 \text{ (N/mm}^2\text{)}$   $375.78 \text{ (N/mm}^2\text{)}$   $376.40 \text{ (N/mm}^2\text{)}$  และ  $440.0 \text{ (N/mm}^2\text{)}$  ตามลำดับ การทดสอบเปอร์เซ็นต์การยืดตัว ก่อนการขับผิวแข็งชิ้นงานจะมีเปอร์เซ็นต์การยืดตัวเฉลี่ย 0.097 หลังการขับผิวแข็งที่อุณหภูมิ 900 องศาเซลเซียส ที่เวลา 1 ชั่วโมง และ 2 ชั่วโมง ที่อุณหภูมิ 950 องศาเซลเซียส ที่เวลา 1 ชั่วโมง และ 2 ชั่วโมง จะมีเปอร์เซ็นต์การยืดตัว เฉลี่ย 0.090 0.075 0.065 และ 0.025 ตามลำดับ การทดสอบ โมดูลัสของสภาพยืดหยุ่น ก่อนการขับผิวแข็งผิวชิ้นงานจะมีค่าโมดูลัสของสภาพยืดหยุ่นเฉลี่ย 12.97

หลังการซับผิวแข็งที่อุณหภูมิ 900 องศาเซลเซียส และ 950 องศาเซลเซียส ที่เวลา 1 ชั่วโมง และ 2 ชั่วโมง จะมีค่าไม้ตู้ลักษณะของสภาพปัจจุบันเฉลี่ย 19.24 25.14 30.58 และ 83.36 ตามลำดับ

ณ รัฐ์เดช พัฒนาไพบูลย์ และคณะ [11] ได้ทำการศึกษาระบวนการซับผิวแข็งโดยวิธีแก๊สคาร์บูโรเจ็ทที่ใช้ช่วงเวลาแพร่ที่สั้นลงจนกระทั่งถึงศูนย์ และแก้ปัญหาอostenite ในต่อก้างหลังซับผิวแข็ง ด้วยวิธี บำบัดเย็น ที่อุณหภูมิ 196 องศาเซลเซียส ผลการทดลองพบว่า ถ้าใช้เวลาการบูรเจ็ท 270 นาที ค่า Cp ร้อยละ 1.25 หลังจากซับผิวแข็ง และบำบัดเย็น จะได้ชั้นแข็งลึกประมาณ 1.3 มิลลิเมตร ในขณะที่ถ้าใช้กระบวนการ ทั่วไปจะใช้เวลารวมถึง 480 นาที ที่ชั้นแข็งลึกใกล้เคียงกัน ซึ่งจะพบว่าสามารถลดเวลาลงจากการทั่วไปถึงร้อยละ 43 เพียงแต่กระบวนการที่ศึกษาต้องเพิ่มกรรมวิธีบำบัดเย็นเพิ่มขึ้น นอกเหนือนี้ยังได้มีการเปรียบเทียบค่าความต้านทานการล้ำของหั้งสองกระบวนการ พบว่ามีผลลัพธ์ออกมาใกล้เคียงกัน ดังนั้นวิธีการที่ศึกษานี้สามารถนำไปประยุกต์ใช้งานได้ในกรณีที่ต้องการลดเวลาของกระบวนการซับผิวแข็งสามารถลดต้นทุน และเพิ่มประสิทธิภาพการผลิตได้

พินุญลัย เครื่อคำอ้าย [12] ได้ทำการศึกษาระบวนการอบซับเครื่องมือทำการเกษตร ขอบดาย หยาด จุดประสงค์ของงานวิจัยนี้ คือการเบรียบเทียบอุณหภูมิ และสารซับที่มีผลต่อความแข็ง และความต้านทานต่อการสึกหรอจากการอบซับทางความร้อน ในการดำเนินงานวิจัยจะใช้ขอบดายหยาดที่ทำจากเหล็กกล้าที่มีส่วนผสมของคาร์บอนร้อยละ 0.09 มาทำการเพิ่มปริมาณคาร์บอนให้ได้ร้อยละ 0.35 จากกระบวนการทำแพ็คคาร์บูโรเจ็ทที่อุณหภูมิ 930 องศาเซลเซียสเป็นเวลา 3 ชั่วโมง และปล่อยให้เย็นตัวในอากาศนั่น นำไปอบอีกครั้ง เป็นไฟที่อุณหภูมิ 850 890 และ 930 องศาเซลเซียส และทำการซับผิวแข็งให้เย็นด้วยน้ำมัน และอากาศนั่น นำไปทดสอบความแข็ง และความต้านทานต่อการสึกหรอ ผลจากการวิจัยพบว่าขอบดายหยาดที่ผ่านการแพ็คคาร์บูโรเจ็ทที่ไม่ซับผิวแข็ง ด้วยเปลวไฟมีความแข็ง และความต้านทานต่อการสึกหรอสูงกว่าที่ 58 รีอคเวลส์เกลชี และร้อยละ 19.37 โดยน้ำหนักตามลำดับ

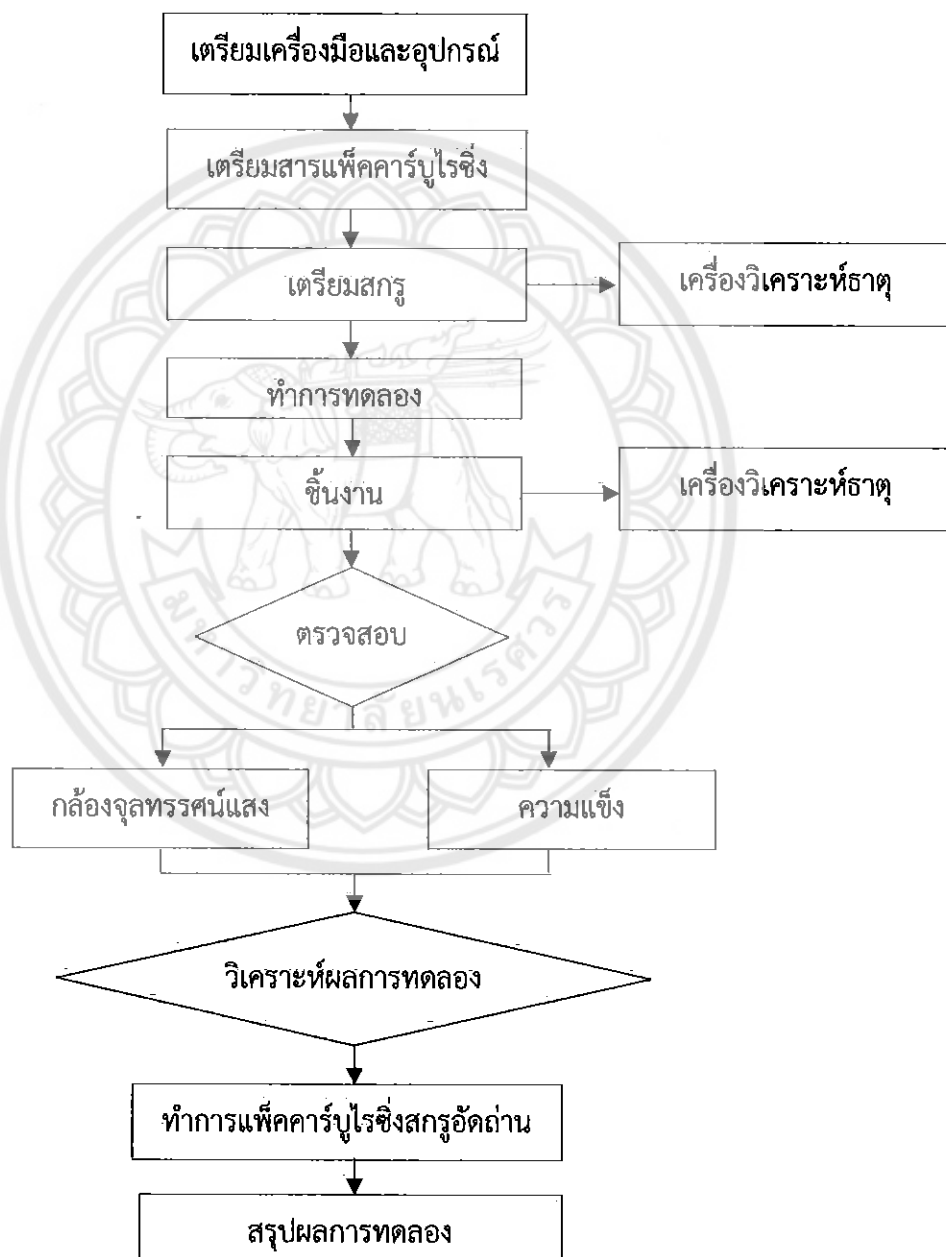
ปราโมทย์ ปุนชุนทด และอนิรุตติ์ มีค่า [13] กล่าวว่า ประสิทธิภาพของถ่านไม้ยูคากลิปตัส ถ่านแกลบ ถ่านไม้ไผ่ ถ่านกระ吝ะพร้าว และถ่านไม้มะขาม ที่มีผลต่อการซับผิวแข็งที่ผิวเหล็กกล้าคาร์บอน ด้วยกรรมวิธีแพ็คคาร์เบอร์โรเจ็ท ดำเนินการโดยทำการแพ็คคาร์เบอร์โรเจ็ทให้กับเหล็กกล้าคาร์บอนต่ำ (JIS S15C) อบที่อุณหภูมิ 925 องศาเซลเซียส อบแซ่ 5 ชั่วโมง ปล่อยให้เย็นตัวในอากาศหลังจากนั้น นำไปซับผิวแข็งที่อุณหภูมิ 780 องศาเซลเซียส อบแซ่ 55 นาที และนำเหล็กมาทำให้เย็นตัวในน้ำผลการทดลองหลังทำการแพ็คคาร์เบอร์โรเจ็ทที่บริเวณผิวของเหล็ก มีโครงสร้าง ซีเมนไทต์รูปตาข่าย และหลังจากนำไปซับผิวแข็งเกิดเป็นโครงสร้างมาร์เทนไซต์ และเบนไนต์ ส่วนแกนกลางเหล็กมีโครงสร้างปกติ คือ โครงสร้างเฟอร์ไรต์ และเพรลไลต์ ถ่านไม้ยูคากลิปตัส สามารถซึมลึกเข้าที่ผิว 1.05 มิลลิเมตร ความแข็งที่ผิว 731 HV ถ่านแกลบสามารถซึมลึกเข้าที่ผิว 0.95 มิลลิเมตร ความแข็งที่ผิว 910 HV ถ่านไม้ไผ่สามารถซึมลึกเข้าที่ผิว 0.15 มิลลิเมตร ความแข็งที่ผิว 593 HV ถ่านกระ吝ะพร้าวสามารถซึมลึกเข้าที่ผิว 1.05 มิลลิเมตร ความแข็งที่ผิว 685 HV ถ่านไม้มะขามสามารถซึมลึกเข้าที่ผิว 1.25 มิลลิเมตร ความแข็งที่ผิว 977 HV

## บทที่ 3

### วิธีการดำเนินโครงการ

#### 3.1 ขั้นตอน และระเบียบวิธีวิจัยที่ใช้ในการดำเนินโครงการ

ขั้นตอนการทดลองกระบวนการซุบแข็งที่ผิวด้วยกรรมวิธีแพ็คคาร์บูไรซิ่ง แบ่งขั้นตอนการทดลองออกเป็นขั้นตอนต่างๆ แสดงดังรูป 3.1



รูปที่ 3.1 ขั้นตอนการดำเนินโครงการ

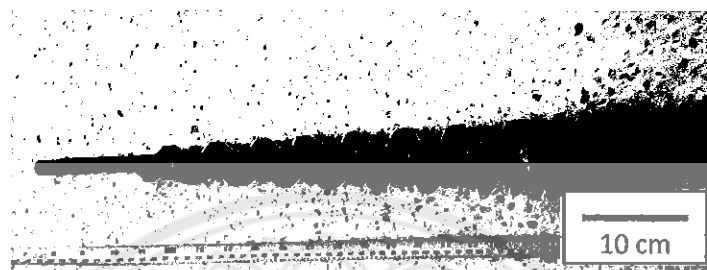


17224874

### 3.2 วัสดุ และอุปกรณ์

#### 3.2.1 วัสดุที่ใช้ในการดำเนินโครงการ

ชิ้นงานที่นำมาศึกษาเป็นเหล็กกล้าคาร์บอนต่ำ ด้วยกรรมวิธีแพ็คคาร์บูโรเชิง โดยทำการตัดเหล็ก และเจียรผิวชิ้นงานให้เรียบร้อย แล้วนำชิ้นงานมาทำรหัสไว้บนผิวชิ้นงาน เพื่อให้ง่าย ๗.๑.๑. ๒๕๖๑ ต่อการทดลอง และการจดจำ ตัวอย่าง ชิ้นงานที่จะทำการศึกษา แสดงดังรูปที่ 3.2



รูปที่ 3.2 สรุปที่ใช้ในกระบวนการอัดถ่าน

#### 3.2.2 เตรียมเครื่องมือและอุปกรณ์

##### 3.2.2.1 ตะแกรงกรองถ่าน

##### 3.2.2.2 เครื่องซึ่งดิจิ托ล

##### 3.2.2.3 กล่องบรรจุชิ้นงานคาร์บูโรเชิง

##### 3.2.2.4 เตาอบชุบความร้อน

##### 3.2.2.5 ถุงมือ คีมคีบเหล็ก

##### 3.2.2.6 เครื่องจักรตัดเหล็ก

##### 3.2.2.7 เครื่องตัดไฟเบอร์

3.2.2.8 ถุงมือ คีมคีบเหล็ก เป็นอุปกรณ์ในการปฏิบัติงาน และป้องกันอันตรายจาก ความร้อนในการปฏิบัติงาน

#### 3.2.3 สารเคมี

3.2.3.1 สาร $\text{Na}_2\text{CO}_3$	ร้อยละ 5	โดยน้ำหนัก
3.2.3.2 สาร $\text{BaCO}_3$	ร้อยละ 10	โดยน้ำหนัก
3.2.3.3 สาร $\text{CaCO}_3$	ร้อยละ 10	โดยน้ำหนัก
3.2.3.4 ถ่านไม้	ร้อยละ 70	โดยน้ำหนัก
3.2.3.5 ถ่านกัมมันต์	ร้อยละ 5	โดยน้ำหนัก
3.2.3.6 น้ำ	ร้อยละ 3	โดยน้ำหนักของปริมาณสารเคมีรวม

### 3.3 ขั้นตอนการดำเนินโครงการ

นำชิ้นงาน และสารเคมีที่ผสมตามสัดส่วนที่กำหนดไว้บรรจุลงในหีบเหล็กแล้วปิดฝ่าพร้อมทั้งใช้ดินเหนียวเคลือบฝาให้สนิทเพื่อป้องกันอากาศแทรกเข้าไปทำการเผาไหม้กับคาร์บอน แล้วนำเข้าเตาอบที่ความร้อนที่อุณหภูมิ 950 องศาเซลเซียส เพื่อให้คาร์บอนซึมสู่ผิวเหล็ก ตามระยะเวลาที่กำหนด ปล่อยให้เย็นในเตา นำหีบเหล็กออกจากเตา หลังจากนั้น นำชิ้นงานที่ผ่านกระบวนการแพ็คคาร์บูไรซ์มาทำการซุบแข็งต่อไป ดังแสดงเป็นขั้นตอนดังต่อไปนี้

- 3.4.1 เติมสารที่เตรียมแพ็คคาร์บูไรซ์ไว้ใส่ในหีบเหล็ก
- 3.4.2 วางชิ้นงานบนสารแพ็คคาร์บูไรซ์
- 3.4.3 เติมสารแพ็คคาร์บูไรซ์ โดยรอบชิ้นงานให้เต็ม
- 3.4.4 ปิดฝาด้วยเหล็กแผ่นที่ตัดไว้ และใช้ดินเหนียวเคลือบฝาให้แน่นสนิทเพื่อไม่ให้อากาศภายนอกเข้าได้
- 3.4.5 นำหีบเหล็กเข้าเตาอบ และปิดฝาให้เรียบร้อยเปิดสวิตซ์ไฟฟ้าตั้งอุณหภูมิอุบ 950 องศาเซลเซียส จนอุณหภูมิ 950 องศาเซลเซียส จึงเริ่มจับเวลาอบ 3 4 5 และ 6 ชั่วโมง
- 3.4.6 เมื่ออบชิ้นงานตามเวลาที่กำหนดแล้วปล่อยให้หีบเหล็กเย็นตัวในเตา จากนั้นจึงนำชิ้นงานออกจากหีบเหล็ก
- 3.4.7 ทำการอบชิ้นงานในข้อ 3.4.6 อีกครั้งที่อุณหภูมิ 950 องศาเซลเซียส โดยเมื่ออุณหภูมิภายในเตาถึงค่าที่กำหนดแล้วจึงนำชิ้นงานเข้าไปอบ เป็นเวลา 1 ชั่วโมง
- 3.4.8 นำชิ้นงานออกจากเตาพร้อมทั้งซุบลงในน้ำเย็นทันที

### 3.4 การตรวจสอบ

- 3.4.1 ตรวจสอบโครงสร้างจุลภาคด้วยกล้องจุลทรรศน์แสง
  - 3.4.1.1 นำไปสกูร และแกนสกูรที่ตัดเรียบร้อยแล้วมาขัดด้วยกระดาษทราย จากเบอร์ หยาบไปへาเบอร์ละเอียด ดังนี้ 180 320 400 600 800 1000 และ 1200 ตามลำดับ
  - 3.4.1.2 นำไปสกูร และแกนสกูรที่ผ่านการขัดในขั้นตอนมาขัดเงา (Polishing) ด้วยผ้าสักหลาดโดยใช้ผงอะลูมินาขนาด 1 ไมครอน
  - 3.4.1.3 นำไปสกูร และแกนสกูรที่ผ่านการขัดเงามากัดกรด (Etching) ในตอรอลร้อยละ 3 โดยการซุบชิ้นงานลงในกรดแล้วล้างด้วยน้ำสะอาด เช็ดด้วยสำลี และเป่าให้แห้ง
  - 3.4.1.4 นำไปสกูร และแกนสกูรที่ผ่านการกัดกรดเรียบร้อยแล้วมาทำการตรวจสอบโครงสร้างจุลภาคด้วยกล้องจุลทรรศน์แสง
- 3.4.2 ทำการตรวจสอบระยะการซึมลึกของคาร์บอน ที่เพร์เข้าไปที่บริเวณขอบของชิ้นงาน โดยวิธีการทดสอบจะใช้กล้องจุลทรรศน์แสงถ่ายภาพแบบต่อเนื่อง

### 3.4.3 ทดสอบความแข็ง

3.4.3.1 ใช้เครื่องทดสอบความแข็งแบบเบร็คเวล หัวกดเพชรทรงกรวย ใช้น้ำหนัก 150 กิโลกรัมแรง

3.4.3.2 นำใบสกรู และแกนสกรูมาขัดหยาบด้วยกระดาษทรายเบอร์ 320 เพื่อปรับชิ้นงานให้ได้ระนาบ

3.4.3.3 วางแผนชิ้นงานที่นำมาทดสอบบนฐานรองชิ้นงานของเครื่องทดสอบความแข็ง โดยให้ด้านที่ขัดกระดาษทรายอยู่ด้านบน ตรวจสอบว่าผิวชิ้นงานด้านล่างสัมผัสกับฐานรองชิ้นงานแบบสนิทดี หากไม่แบบสนิทค่าความแข็งที่ได้จะผิดพลาด

3.4.3.4 เลือกตำแหน่งการทดสอบ ไม่ควรทดสอบบริเวณริมขอบชิ้นงาน เพราะอาจทำให้ชิ้นงานล้มได้

3.4.3.5 ทำการทดสอบความแข็ง ตามวิธีการใช้เครื่องทดสอบความแข็ง แบบเบร็คเวล

3.4.3.6 หนึ่งชิ้นงานทำการทดสอบ 5 ครั้ง โดยการทดสอบแต่ละครั้งรอยกดใหม่จะต้องห่างจากรอยเดิมไม่น้อยกว่า 4 เท่าของขนาดรอยกดเดิม

3.4.3.7 บันทึกค่าที่ได้จากการทดสอบ

3.4.4 วัดปริมาณของคาร์บอนในสกรู และแกนสกรู ก่อน-หลังผ่านกระบวนการแพ็คคาร์บูโรซิ่ง ด้วยเครื่องวิเคราะห์ธาตุ (Optical Emission Spectrometer)

3.4.5 ทำการตรวจสอบโครงสร้างจุลภาค ความแข็ง ตามหัวข้อ 3.4.1 และ 3.4.3 กับชิ้นงานที่ผ่านการขับแข็ง

## 3.5 ทำการแพ็คคาร์บูโรซิ่งสกรูอัดถ่าน

3.5.1 สร้างเทอบ

3.5.2 นำชิ้นงานสกรูใส่กล่องเหล็กที่ได้เตรียมไว้

3.5.3 อบที่อุณหภูมิ 950 องศาเซลเซียส เวลาที่ดีที่สุดที่ได้จากการตรวจสอบในหัวข้อ 3.4

3.5.4 เมื่อครบกำหนดในข้อ 3.5.3 ทำการขับลงในน้ำเย็นทันที

3.5.5 วัดความแข็งของชิ้นงานจริงภายหลังกระบวนการแพ็คคาร์บูโรซิ่ง และขับแข็ง

## 3.6 วิเคราะห์ผลการทดลอง

หลังจากการทดลอง และบันทึกผลการทดลองลงในตารางบันทึกผลการทดลองแล้ว นำข้อมูลไปเปรียบเทียบ โดยนำข้อมูลจากผลการทดลองมาเปรียบเทียบระยะช่วงเวลาต่าง ๆ แต่ละช่วงในการเพิ่มคาร์บอน และความแข็งของชิ้นงาน

### 3.7 สรุปผลโครงการ และข้อเสนอแนะ

หลังจากได้ทำการทดลอง และวิเคราะห์ผลการทดลองจึงสรุปผลการดำเนินโครงการ และข้อเสนอแนะแนวทางในการแก้ไขปรับปรุงเพื่อให้มีความสมบูรณ์มากยิ่งขึ้น



## บทที่ 4

### ผลการทดลอง และการวิเคราะห์

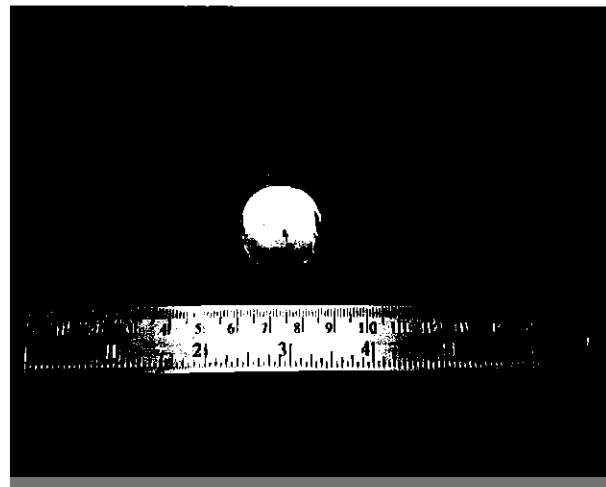
ในบทนี้กล่าวถึงผลการทดลอง และการวิเคราะห์ผลที่ได้ในการทำกระบวนการคาร์บูเรชั่ง และชุดแข็งของใบ แล้วกันสกรูธรรมชาติที่ได้จากโรงงาน ดังรายละเอียดต่อไปนี้

#### 4.1 สกรูที่ใช้ในกระบวนการอัดถ่านแท่ง

สภาพโดยทั่วไปของสกรูที่ใช้ในกระบวนการอัดถ่านแท่ง แสดงดังรูปที่ 4.1 มีขนาดประมาณ กว้าง 9 เซนติเมตร ยาว 60 เซนติเมตร แกนทำม้าจากเหล็กเพลาแล้วก็ให้มีลักษณะรูปโคน ปลายเรียว ในขณะที่ใบสกรูทำมาจากเหล็กแผ่นชนิดเดียวกันกับแกน ตัดให้เป็นแผ่นตามรัศมีวงกลม ที่เพิ่มขึ้นแล้วทำการดึงให้ยืดออก จะไปเป็นแผ่นเกลียวพร้อมกับแกนสกรูสอดเข้าไปในแผ่นเกลียว ทำการเชื่อมประสานใบสกรู และแกนให้แน่น ตกแต่งผิว และทาสีป้องกันสนิม นำสกรูที่ได้จากโรงงาน อัดถ่านมาทำการตัดแยกใบ และแกนสกรูออกจากกัน เพื่อให้ง่ายต่อการทดสอบ ดังแสดงในรูปที่ 4.1 และ 4.2



รูปที่ 4.1 ชิ้นงานใบสกรู



รูปที่ 4.2 ชิ้นงานแกนสกรู

#### 4.1.1 ส่วนผสมทางเคมีของสกรูอัดถ่าน

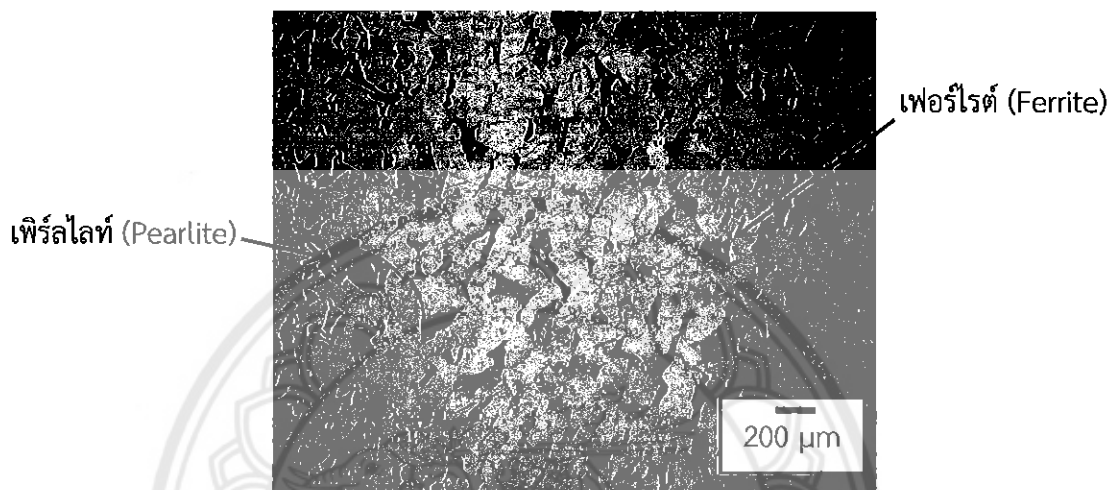
เมื่อเรานำไปสกรู และแกนสกรูก่อนผ่านกระบวนการแพ็คคาร์บูโรเจ็งไปวิเคราะห์ชาตุ ด้วยเครื่องวิเคราะห์ชาตุ (Optical Emission Spectrometer) พบว่าสกรูนี้ปริมาณการบอนต่ำมาก อยู่ที่ร้อยละ 0.0661 ดังแสดงในตารางที่ 4.1 โดยทั่วไปแล้วถ้าปริมาณการบอนต่ำกว่าร้อยละ 0.2 จะไม่สามารถทำการขูบแข็งเพื่อเพิ่มความแข็งให้กับชิ้นงานได้ ดังนั้นสกรูชิ้นนี้จึงจำเป็นที่ต้องเพิ่มปริมาณ การบอนในเนื้อ ก่อนแล้วค่อยทำการขูบแข็งในลำดับถัดไป และส่วนผสมทางเคมีจะส่งผลต่อกระบวนการ แพ็คคาร์บูโรเจ็ง ซึ่งจะสอดคล้องกับทฤษฎีข้อ 2.4

ตารางที่ 4.1 ผลวิเคราะห์ส่วนผสมทางเคมีของแกน และสกรูอัดถ่านก่อนการทำแพ็คคาร์บูโรเจ็ง

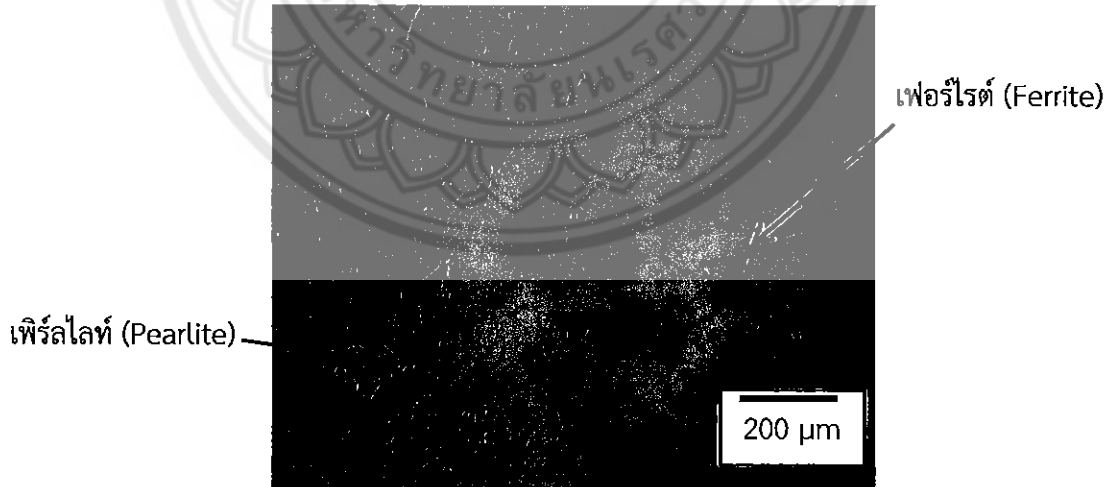
ชาตุ	ร้อยละส่วนผสมทางเคมีของสกรู
คาร์บอน (Carbon)	0.0661
ซิลิคอน (Silicon)	0.0172
แมงกานีส (Manganese)	0.7195
ฟอฟอรัส (Phosphorus)	0.0186
กำมะถัน (Sulfur)	0.0060
โครเมียม (Chromium)	0.1362
โมลิบเดียม (Molybdenum)	0.0273
nickel (Nickel)	0.0961
ทองแดง (Copper)	0.2879
วาเนเดียม (Vanadium)	0.0004
เหล็ก (ferrum)	Balance

#### 4.1.2 โครงสร้างจุลภาคของสกรู

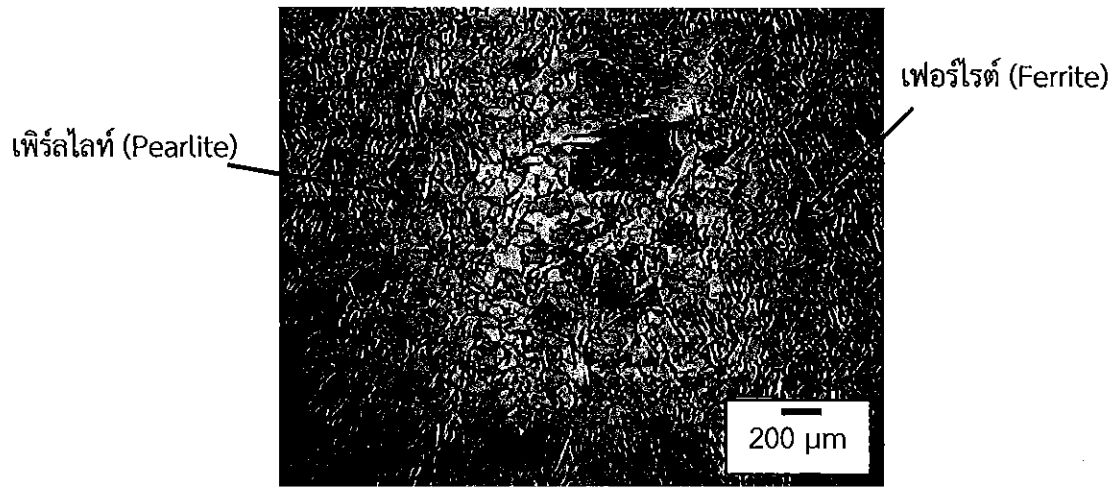
จากการตรวจสอบโครงสร้างจุลภาคของสกรูอัดถ่าน ที่ยังไม่ผ่านกระบวนการแพ็คการบูรี่ซิ่ง พบว่าโครงสร้างจุลภาคของหัวแกนสกรู และใบสกรู ประกอบไปด้วย เฟอร์ไรต์ และเพิร์ลไลท์ แต่ลักษณะเกรนของใบสกรูจะมีขนาดเล็กกว่าแกนสกรูทำให้สันนิษฐานได้ว่าใบสกรูนั้น ผ่านกระบวนการรีดมา ดังแสดงในรูป 4.3 – 4.6 ตามลำดับ



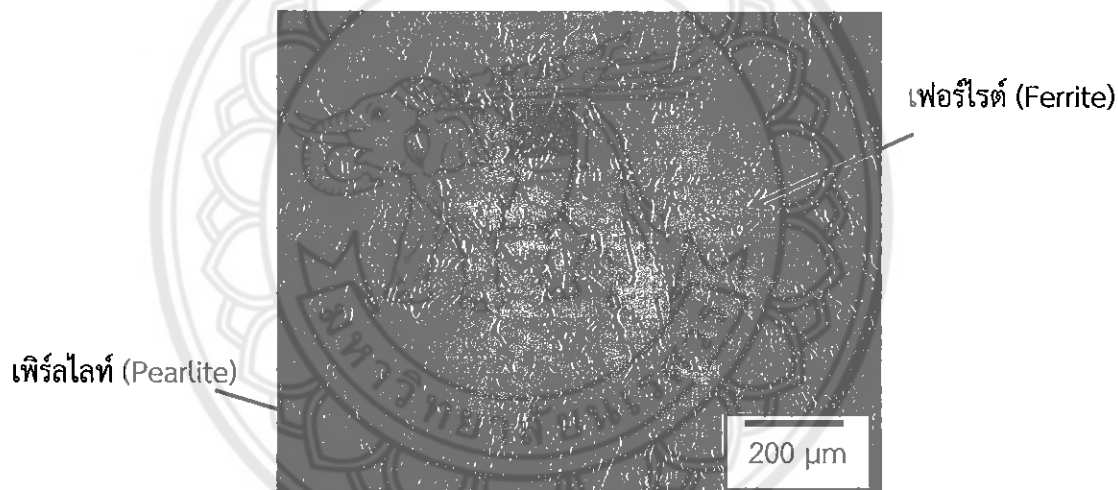
รูปที่ 4.3 โครงสร้างจุลภาคของแกนสกรูที่กำลังขยาย 200 เท่า



รูปที่ 4.4 โครงสร้างจุลภาคของแกนสกรูที่กำลังขยาย 500 เท่า



รูปที่ 4.5 โครงสร้างจุลภาคของใบสกรูที่กำลังขยาย 200 เท่า



รูปที่ 4.6 โครงสร้างจุลภาคของใบสกรูที่กำลังขยาย 500 เท่า

#### 4.1.3 ค่าความแข็ง

เมื่อทำการทดสอบความแข็งของแกนสกรู และใบสกรูก่อนทำการบวนการแพ็คการบูรี่ซึ่งด้วยเครื่องทดสอบความแข็งแบบร็อกเวล หัวกดเพชรทรงกรวย ใช้น้ำหนัก 150 กิโลกรัมแรง โดยจะทำการวัดแบบสุ่มเป็นจำนวนชิ้นงานละ 5 ครั้ง โดยแต่ละครั้งรอยกดจะต้องห่างจากการอยเดิมไม่น้อยกว่า 4 เท่าของขนาดรอยกดเดิม

## 4.2 กระบวนการแพ็คคาร์บูไรซิ่ง

ขั้นงานสกรูอัดถ่านที่ผ่านการตรวจสอบส่วนผสมทางเคมี โครงสร้างจุลภาค และความแข็งในเบื้องต้นมาแล้วนั้น จะนำมาเข้าสู่กระบวนการแพ็คคาร์บูไรซิ่งทั้งใบสกรู และแกนสกรู โดยใช้อุณหภูมิที่ 950 องศาเซลเซียส และเวลานาน 3 4 5 และ 6 ชั่วโมง จากนั้นทำการตรวจสอบผลการทดลอง โดยการตรวจสอบส่วนผสมทางเคมี ตรวจสอบโครงสร้างจุลภาค และวัดค่าความแข็ง

### 4.2.1 ส่วนผสมทางเคมีหลังการทำแพ็คคาร์บูไรซิ่ง

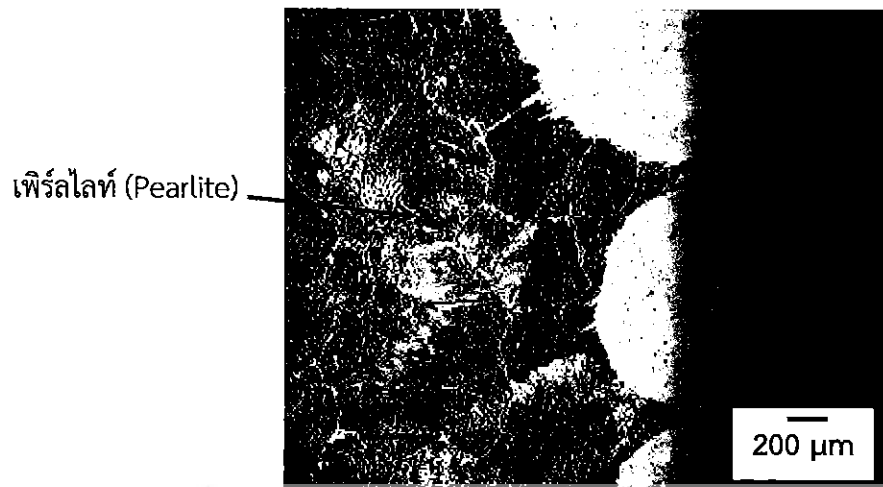
เมื่อนำขั้นงานที่ผ่านกระบวนการแพ็คคาร์บูไรซิ่งไปวิเคราะห์ส่วนผสมทางเคมี ด้วยเครื่องวิเคราะห์ร้าตุ (Optical Emission Spectrometer) ได้ผลดังตารางที่ 4.4 และส่วนผสมทางเคมีจะส่งผลต่อกระบวนการแพ็คคาร์บูไรซิ่ง ซึ่งจะสอดคล้องกับทฤษฎีข้อ 2.4

ตารางที่ 4.2 ผลการวิเคราะห์ส่วนผสมทางเคมีของแกน และใบสกรูหลังการทำแพ็คคาร์บูไรซิ่ง

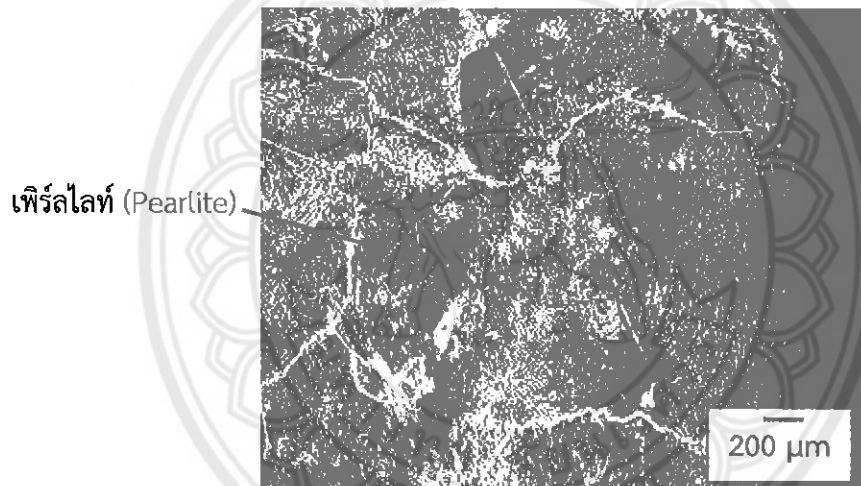
คาร์บู ไรซิ่ง	ร้อยละส่วนผสมทางเคมีของใบสกรู										
	C	Si	Mn	P	S	Cr	Mo	Ni	Cu	V	Fe
3 ชั่วโมง	0.237	0.230	0.661	0.012	0.024	0.154	0.029	0.084	0.145	0.003	Balance
4 ชั่วโมง	0.252	0.262	0.683	0.013	0.024	0.157	0.027	0.083	0.143	0.002	Balance
5 ชั่วโมง	0.193	0.216	0.639	0.013	0.020	0.154	0.028	0.085	0.146	0.002	Balance
6 ชั่วโมง	0.290	0.281	0.702	0.009	0.026	0.155	0.026	0.081	0.140	0.002	Balance

### 4.2.2 โครงสร้างจุลภาคของสกรูอัดถ่านหลังการทำแพ็คคาร์บูไรซิ่ง

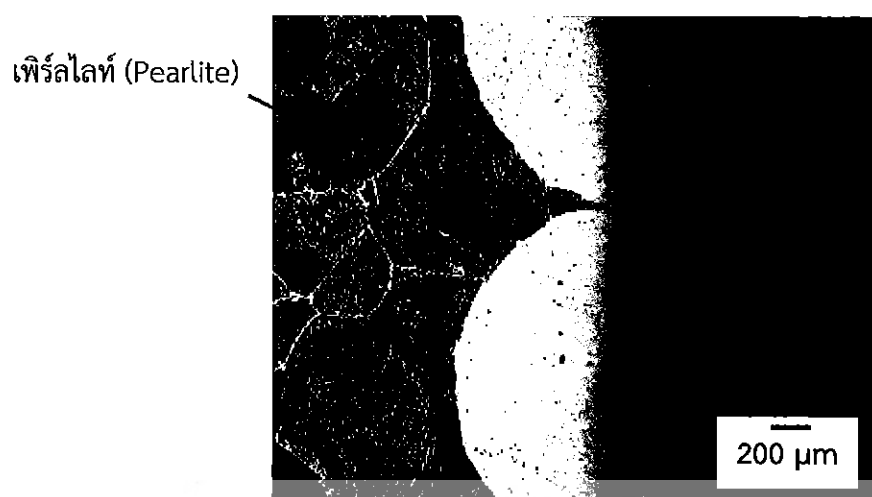
เมื่อนำขั้นงานที่ผ่านกระบวนการแพ็คคาร์บูไรซิ่งที่ อุณหภูมิ 950 องศาเซลเซียส เวลา 3 4 5 และ 6 ชั่วโมง มาตรวจสอบโครงสร้างจุลภาค ด้วยกล้องจุลทรรศน์แสง พบร่วมโครงสร้าง จุลภาคประกอบไปด้วย เพอร์ไรท์ (Ferrite) และเพิร์ลิต (Pearlite) ทั้งของแกนสกรู และใบสกรู แสดงในรูปที่ 4.7 – 4.14 โดยปริมาณของเพอร์ไรท์เพิ่มมากขึ้นเมื่อพิจารณาโครงสร้างจุลภาคเข้าสู่ ใจกลางขั้นงานดังภาพผนวก ข และปริมาณการบอนจากผิวเข้าสู่ภายในขั้นงานเมื่อวิเคราะห์แล้ว สามารถแสดงผลเป็นเบอร์เซ็นต์บอนดังตารางที่ 4.2



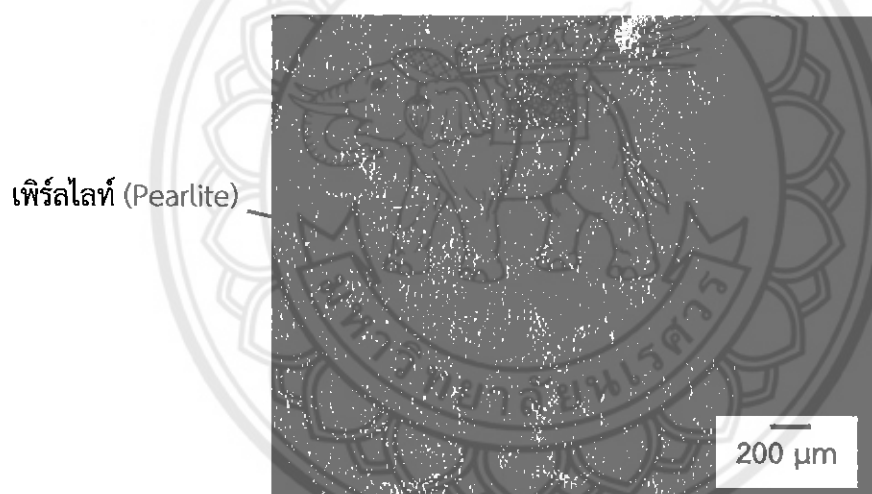
รูปที่ 4.7 โครงสร้างจุลภาคของเกนสกรูที่ผ่านกระบวนการแพ็คคาร์บูเรชั่ง 3 ชั้วโมง



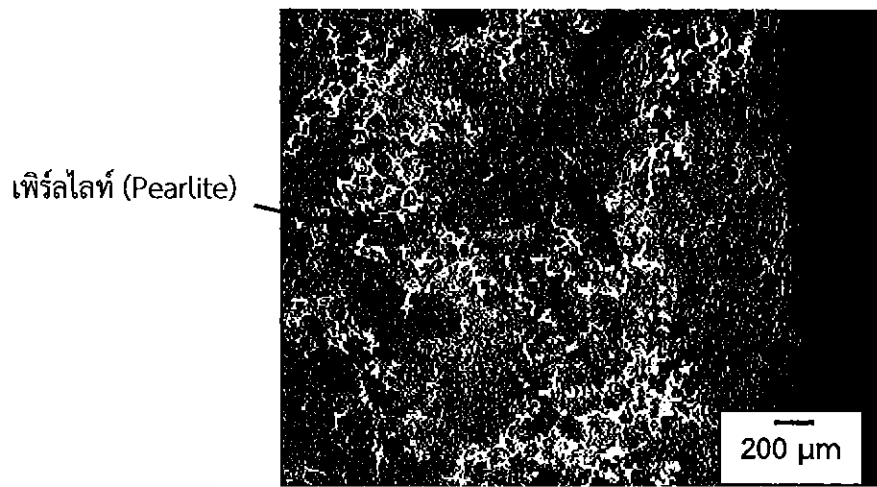
รูปที่ 4.8 โครงสร้างจุลภาคของเกนสกรูที่ผ่านกระบวนการแพ็คคาร์บูเรชั่ง 4 ชั่วโมง



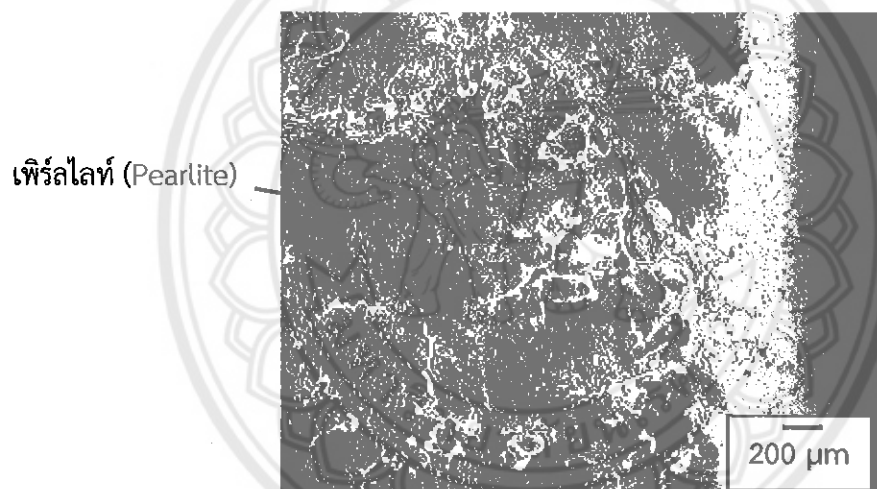
รูปที่ 4.9 โครงสร้างจุลภาคของเกนสกรูที่ผ่านกระบวนการแพ็คคาร์บูเรชั่ง 5 ชั่วโมง



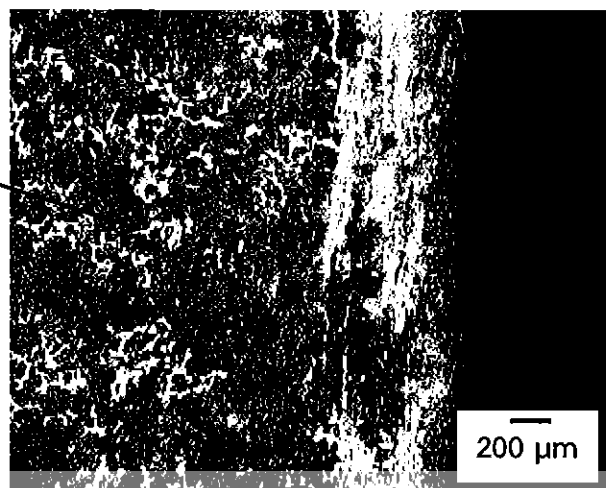
รูปที่ 4.10 โครงสร้างจุลภาคของเกนสกรูที่ผ่านกระบวนการแพ็คคาร์บูเรชั่ง 6 ชั่วโมง



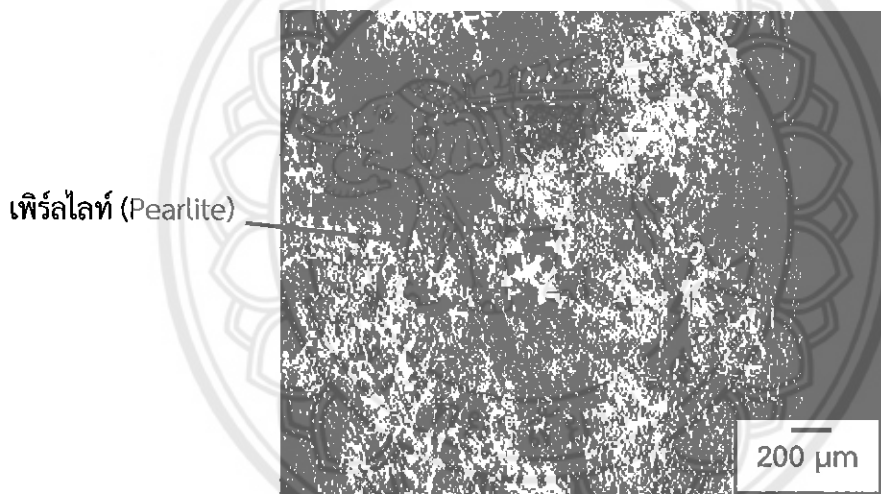
รูปที่ 4.11 โครงสร้างจุลภาคของใบสกรูที่ผ่านกระบวนการแพ็คการบูรีซิ่ง 3 ชั่วโมง



รูปที่ 4.12 โครงสร้างจุลภาคของใบสกรูที่ผ่านกระบวนการแพ็คการบูรีซิ่ง 4 ชั่วโมง



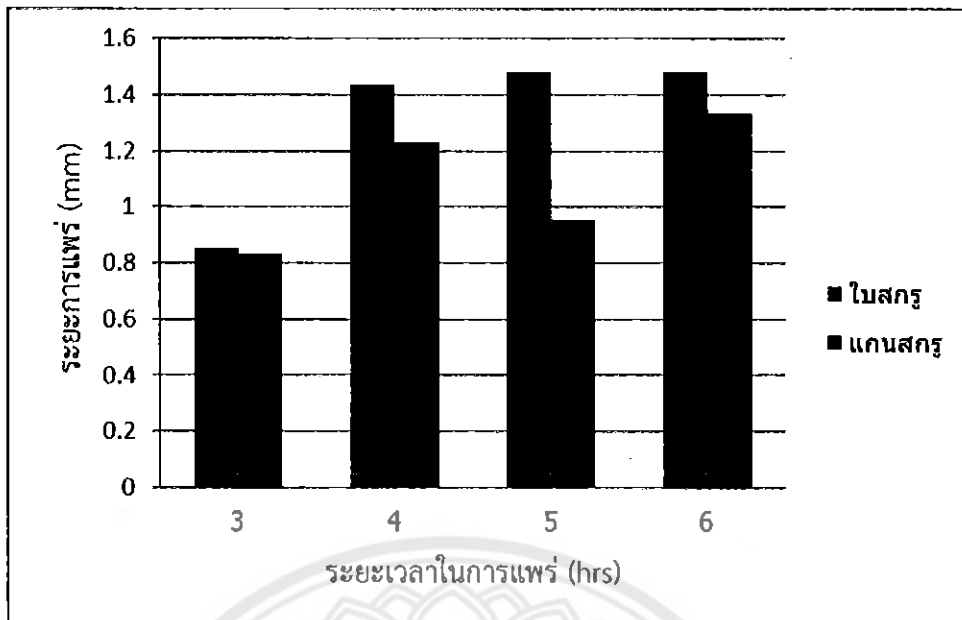
รูปที่ 4.13 โครงสร้างจุลภาคของใบสกรูที่ผ่านกระบวนการแพ็คคาร์บูไรซิ่ง 5 ชั่วโมง



รูปที่ 4.14 โครงสร้างจุลภาคของใบสกรูที่ผ่านกระบวนการแพ็คคาร์บูไรซิ่ง 6 ชั่วโมง

#### 4.2.3 ระยะการแพร'

จากโครงสร้างจุลภาคของชิ้นงานสกรูที่ผ่านกระบวนการแพ็คคาร์บูไรซิ่ง เมื่อทำการถ่ายภาพแบบต่อเนื่องกันจากผิวเข้าไปสู่เนื้อด้านใน จะสามารถวัดระยะการแพร'ของคาร์บอนในกระบวนการได้ดังแสดงในภาคผนวก ข สำหรับการแพ็คคาร์บูไรซิ่งที่เวลา 3 4 5 และ 6 ชั่วโมง เมื่อเพิ่มเวลาในการทำแพ็คคาร์บูไรซิ่งจะส่งผลทำให้ระยะการแพร'ของคาร์บอนเพิ่มขึ้น แสดงดังรูปที่ 4.15



รูปที่ 4.15 ระยะการแพร์ของคาร์บอนในกระบวนการแพ็คคาร์บูไรซิ่งที่ 950 องศาเซลเซียส

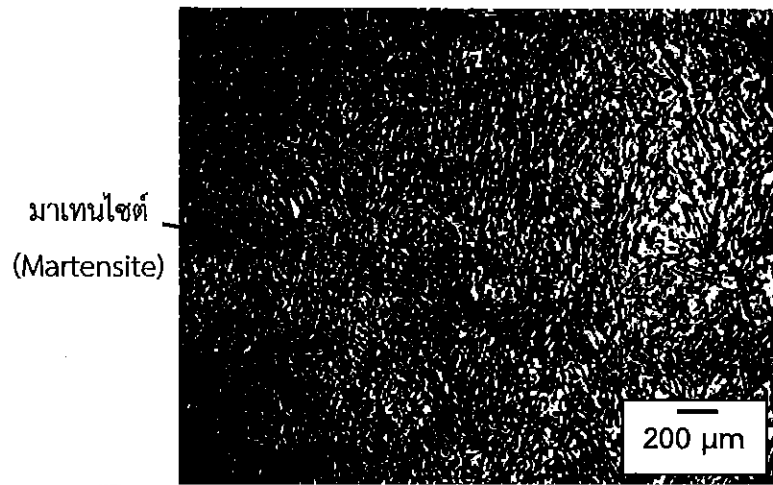
#### 4.2.4 ความแข็งหลังกระบวนการทำแพ็คคาร์บูไรซิ่ง

ภายหลังกระบวนการแพ็คคาร์บูไรซิ่ง ชิ้นงานสกรูจะถูกวัดความแข็งด้วยเครื่องทดสอบความแข็งแบบรือคเวล หัวกดเพชรทรงกรวย ใช้น้ำหนัก 150 กิโลกรัมแรง โดยจะทำการวัดแบบสุ่ม เป็นจำนวนชิ้นงานละ 5 ครั้ง โดยแต่ละครั้งรอยกดจะต้องห่างจากรอยเดิมไม่น้อยกว่า 4 เท่า ของขนาดรอยกดเดิม

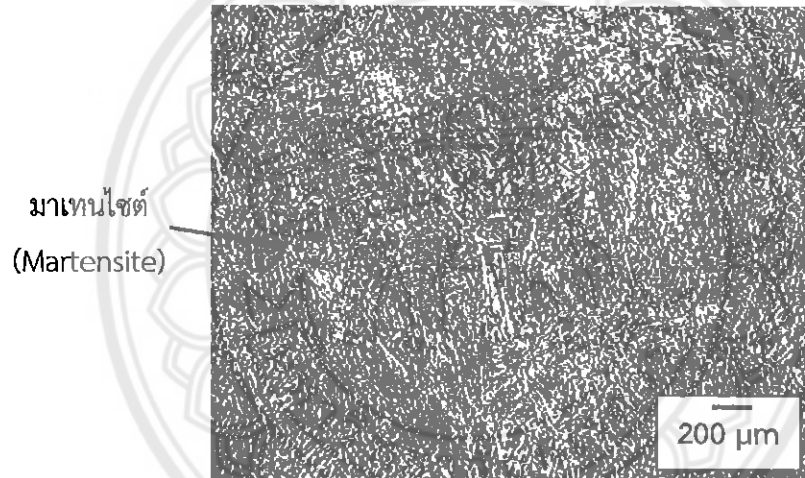
ผลการทดลองจากรูปที่ 14.15 ชี้ให้เห็นว่าเมื่อทำการแพ็คคาร์บูไรซิ่งกับสกรูจะทำให้ค่าความแข็งของสกรูเพิ่มขึ้นเพียงเล็กน้อยเมื่อเทียบกับค่าความแข็งของสกรูเริ่มต้น ความแข็งที่เพิ่มขึ้นนี้เป็นผลมาจากการแทรกตัวเข้าไปของอะตอมคาร์บอนในโครงผลึกของเหล็กแบบแทรกที่ (Interstitial atom) นั้นเอง

### 4.3 การชุบแข็งที่ผิว (Case Hardening)

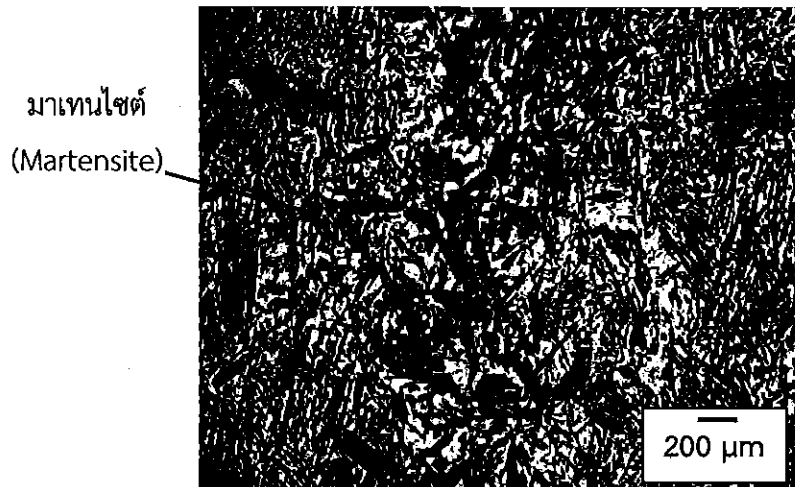
การชุบแข็งที่ผิวเป็นกระบวนการที่ทำภายหลังจากชิ้นงานผ่านกระบวนการแพ็คคาร์บูไรซิ่ง มาแล้ว โดยมีวัตถุประสงค์เพื่อทำให้โครงสร้างที่ผิวของเหล็กนี้เปลี่ยนไปเป็นโครงสร้างมาร์เกนไซต์ โดยจะนำชิ้นงานที่ผ่านกระบวนการแพ็คคาร์บูไรซิ่ง มาอบที่อุณหภูมิ 950 องศาเซลเซียส เป็นเวลา 1 ชั่วโมง แต่จะนำชิ้นงานเข้าเตาอบเมื่ออุณหภูมิเท่ามีค่าเท่ากับ 950 องศาเซลเซียสเสียก่อน หลังครบเวลาที่กำหนด นำชิ้นงานมาจุ่มชุบในน้ำเย็นทันที ผลการทดลองพบว่า โครงสร้างจุลภาคของแกนสกรู และใบสกรู หลังกระบวนการชุบแข็งที่ผิว จะได้โครงสร้าง มาแทนไซต์ โดยมีลักษณะคล้ายกับเข็มดังแสดงในรูปต่อไปนี้



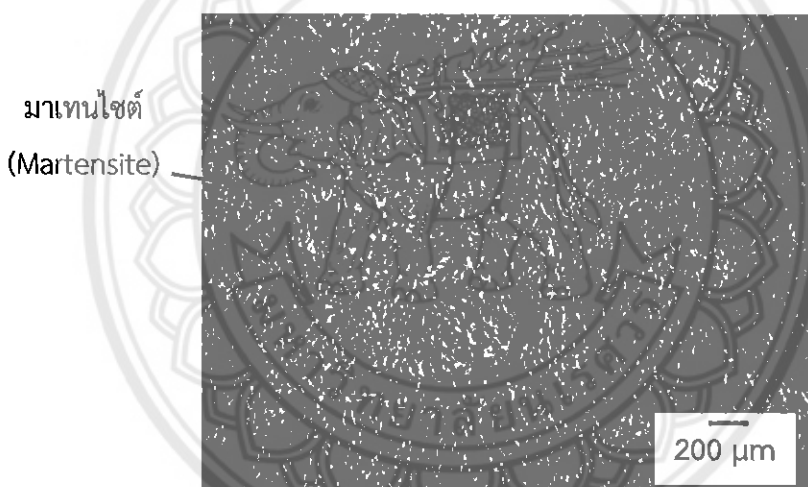
รูปที่ 4.16 โครงสร้างจุลภาคของเกนสกรูที่ทำแพ็คการบูรีซิ่งที่ 3 ชั่วโมง ภายหลังการขับแข็ง



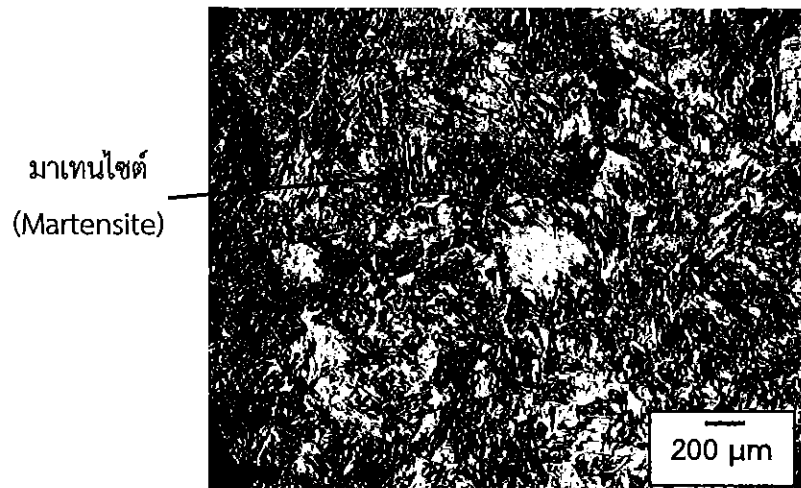
รูปที่ 4.17 โครงสร้างจุลภาคของเกนสกรูที่ทำแพ็คการบูรีซิ่งที่ 4 ชั่วโมง ภายหลังการขับแข็ง



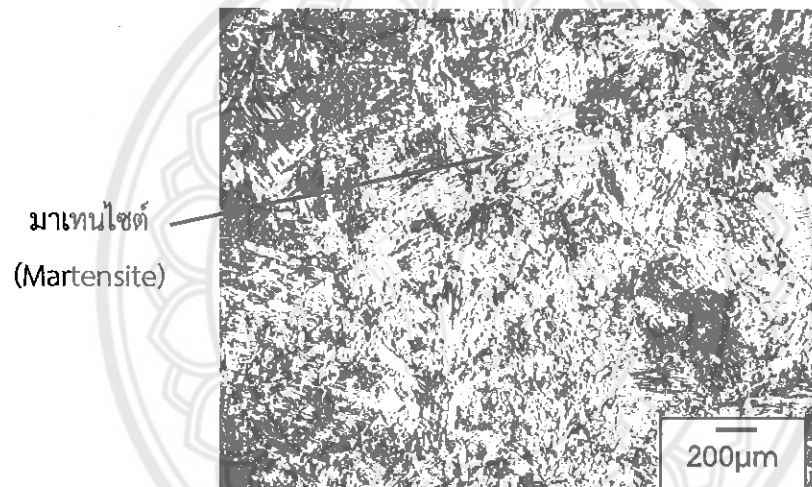
รูปที่ 4.18 โครงสร้างจุลภาคของเกนสกรูที่ทำแพ็คการบูรี่ชิ้นที่ 5 ชั่วโมง ภายหลังการซุบแข็ง



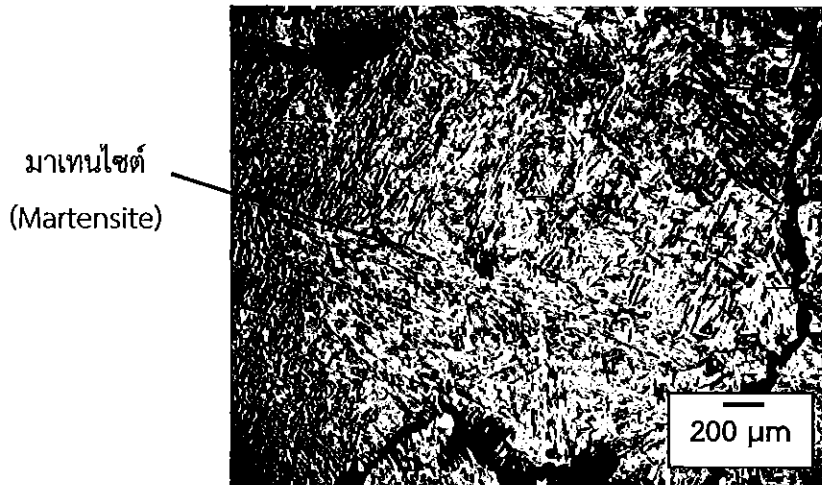
รูปที่ 4.19 โครงสร้างจุลภาคของเกนสกรูที่ทำแพ็คการบูรี่ชิ้นที่ 6 ชั่วโมง ภายหลังการซุบแข็ง



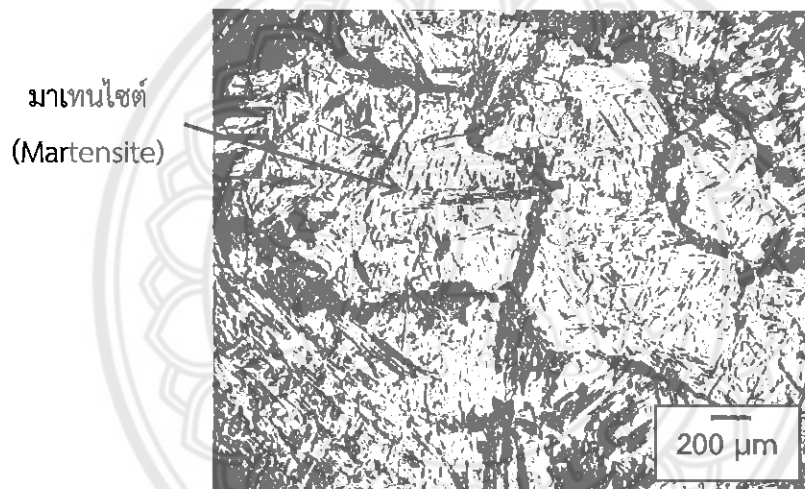
รูปที่ 4.20 โครงสร้างจุลภาคของในสกรูที่ทำแพ็คการบูรีชิ่งที่ 3 ชั่วโมง ภายหลังการซุบแข็ง



รูปที่ 4.21 โครงสร้างจุลภาคของในสกรูที่ทำแพ็คการบูรีชิ่งที่ 4 ชั่วโมง ภายหลังการซุบแข็ง



รูปที่ 4.22 โครงสร้างจุลภาคของใบสกรูที่ทำแพ็คการบูรีซิ่งที่ 5 ชั้โน้ม ภายหลังการขับแข็ง

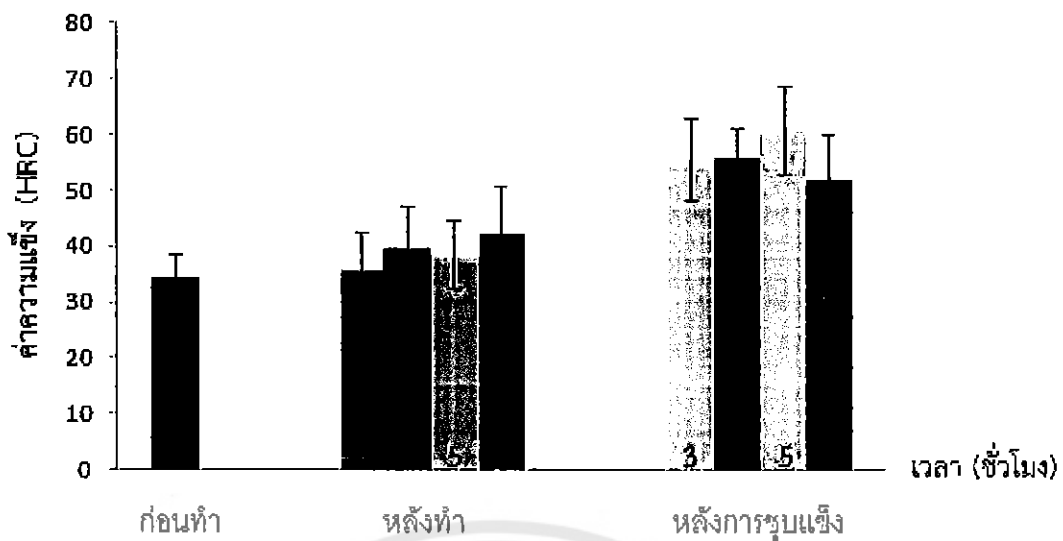


รูปที่ 4.23 โครงสร้างจุลภาคของใบสกรูที่ทำแพ็คการบูรีซิ่งที่ 6 ชั้โน้ม ภายหลังการขับแข็ง

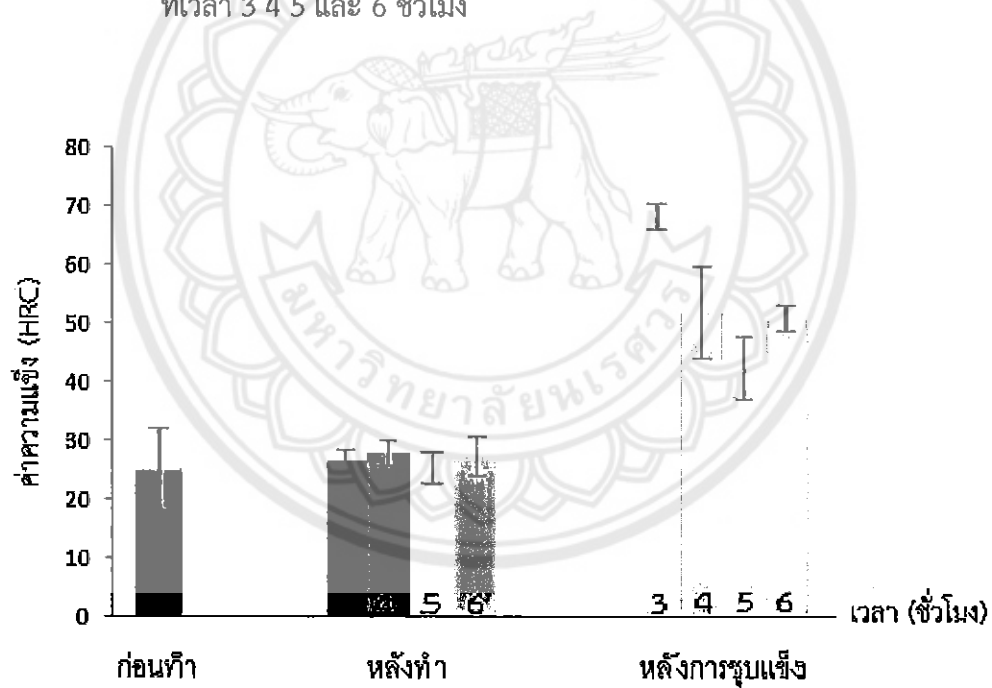
#### 4.3.1 ความแข็งหลังทำการขับแข็งที่ผิว

ค่าความแข็งของชิ้นงานหลังกระบวนการขับแข็ง โดยใช้เครื่องทดสอบความแข็งแบบร็อกเวล หัวกดเพชรทรงกรวย ใช้น้ำหนัก 150 กิโลกรัมแรง โดยจะทำการวัดแบบสุ่มเป็นจำนวนชิ้นงานละ 5 ครั้ง โดยแต่ละครั้งรอยกดจะต้องห่างจากรอยเดิมไม่น้อยกว่า 4 เท่าของขนาดรอยกดเดิม ได้ค่าความแข็งแสดงดังรูปที่ 4.24 และ 4.25

ค่าความแข็งของแกนสกรูในทุกชั้โน้มของการทำแพ็คการบูรีซิ่ง ภายหลังการขับแข็ง มีค่าเพิ่มขึ้นมากกว่าค่าความแข็งก่อนทำการขับแข็ง จากในช่วง 38.95 HRC สอดคล้องกับโครงสร้างเพิร์ลไลท์ และเฟอร์ไรต์ ขึ้นมาอยู่ในระดับความแข็ง 56 HRC ที่มีโครงสร้างเป็นมาเทนไชต์ เช่นเดียวกันกับค่าความแข็งของใบสกรูที่เพิ่มขึ้นมาจากช่วง 26.55 HRC ขึ้นมาเป็น ประมาณ 51 HRC



รูปที่ 4.24 ค่าความแข็งของเกนสกรู ก่อน-หลังทำแพ็คคาร์บูไรซิ่ง และหลังการซุบแข็งที่ผิว  
ที่เวลา 3 4 5 และ 6 ชั่วโมง



รูปที่ 4.25 ค่าความแข็งของใบสกรู ก่อน-หลังทำแพ็คคาร์บูไรซิ่ง และหลังการซุบแข็งที่ผิว  
ที่เวลา 3 4 5 และ 6 ชั่วโมง

#### 4.3.2 การทดลองกับชิ้นงานจริง

หลังจากที่ได้ทำการทดลองกระบวนการแพ็คคาร์บูโรชิ่ง ที่อุณหภูมิ 950 องศาเซลเซียส เป็นเวลา 3 4 5 และ 6 ชั่วโมง พบร่วมกับเวลา 4 ชั่วโมง เป็นเวลาที่เหมาะสมที่สุดในการทำแพ็คคาร์บูโรชิ่ง เพราะเมื่อนำระยะการแพร์ของคาร์บอนมาเปรียบเทียบกันพบว่ามีระยะการแพร์ที่ต่างกันเล็กน้อยซึ่งถ้าเลือกที่ 5 และ 6 ชั่วโมงจะทำให้ลิ้นเปลือกทรัพยากรในการทำแพ็คคาร์บูโรชิ่ง และถ้าเลือกที่ 3 ชั่วโมงซึ่งมีระยะการแพร์ที่น้อยเกินไปจะส่งผลทำให้สกรูไม่มีประสิทธิภาพพนทานต่อการสึกหรอ ดังนั้นจึงเลือกที่ 4 ชั่วโมงในการทำแพ็คคาร์บูโรชิ่ง หลังจากที่ได้ทำการวิเคราะห์ และสรุปผลการทดลองแล้ว จึงทำการทดลองกับชิ้นงานจริง โดยมีรายละเอียดในภาคผนวก ค



## บทที่ 5

### บทสรุป และข้อเสนอแนะ

ในบทนี้กล่าวถึงบทสรุป ข้อเสนอแนะ และการพัฒนา รวมทั้งปัญหาที่พบ และแนวทางการแก้ไขของโครงงาน มีรายละเอียดดังนี้

#### 5.1 บทสรุป

จากการทดลองศึกษาการเพิ่มความแข็งที่ผิวให้กับสกรูอัดถ่านแห่ง จากการกระบวนการผลิตของกิจการโรงงานอัดถ่านแห่งแห่งหนึ่งในจังหวัดพิษณุโลก เพื่อศึกษาเวลาที่เหมาะสมที่สุดในการทำกระบวนการแพ็คคาร์บูโรเชิงที่อุณหภูมิ 950 องศาเซลเซียส โดยใช้เวลาอบที่อุณหภูมิ 3 4 5 และ 6 ชั่วโมง ซึ่งก่อน-หลังการทำกระบวนการแพ็คคาร์บูโรเชิงพบว่า

5.1.1 โครงสร้างจุลภาคของแกนสกรู และใบสกรู ที่ยังไม่ผ่านกระบวนการแพ็คคาร์บูโรเชิง เมื่อตรวจสอบด้วยกล้องจุลทรรศน์แสงพาหะโครงสร้างเป็น เฟอร์ไรต์ และเฟิร์ลไลท์

5.1.2 โครงสร้างจุลภาคของแกนสกรู และใบสกรู หลังผ่านกระบวนการแพ็คคาร์บูโรเชิง เมื่อตรวจสอบด้วยกล้องจุลทรรศน์แสงพาหะโครงสร้าง เฟอร์ไรต์ และเฟิร์ลไลท์ และที่บริเวณใต้ผิวโครงสร้างเป็นเฟิร์ลไลท์เพียงอย่างเดียว

5.1.3 โครงสร้างจุลภาคของแกนสกรู และใบสกรู ที่ผ่านกระบวนการแพ็คคาร์บูโรเชิง ทุกระยะเวลาอบ หลังจากทำการขับแข็งจะได้โครงสร้าง มาแทนไขต์ที่บริเวณใต้

5.1.3 สกรูอัดถ่านที่ผ่านกระบวนการแพ็คคาร์บูโรเชิง และวิธีขับแข็งด้วยน้ำ มีความแข็งที่ผิวเพิ่ม จาก 25 HRC เป็น 58 HRC

5.1.4 การทดลองการทำแพ็คคาร์บูโรเชิงที่อุณหภูมิ 950 องศาเซลเซียสในครั้งนี้ พบร่วมระยะเวลาอบที่ 4 ชั่วโมง เป็นเวลาเหมาะสมที่สุด

#### 5.2 ข้อเสนอแนะ และการพัฒนา

ควรพัฒนาองค์ความรู้เรื่องการสร้างเตาอบสกรูให้มีความสามารถพร้อมที่จะควบคุมอุณหภูมิ ในขณะทำการอบให้ดีขึ้น เพื่อใช้เป็นแนวทางในการออกแบบ และสร้างเตาอบสกรูขึ้นได้เอง โดยเตาอบสกรูที่ได้สร้างนั้นสามารถอบเหล็ก และสกรูที่มีขนาดยาวได้ อีกทั้งยังประหยัดเวลา และใช้ต้นทุนต่ำเมื่อเทียบกับกระบวนการอื่น

### 5.3 ปัญหาที่พบ และแนวทางแก้ไข

5.3.1 ก่อนตรวจสอบโครงสร้างจุลภาค ต้องทำการตัดชิ้นงานที่ผ่านกระบวนการแพ็คคาร์บูรีซิ่ง ในทิศทางตั้งฉากกับผิวที่ทำ มิฉะนั้นจะไม่สามารถเห็นโครงสร้างที่มีบริมาณของคาร์บอนที่เพิ่มขึ้นได้

5.3.2 ในการดำเนินโครงการไม่มีเตาอบที่เหมาะสมสำหรับการทำแพ็คคาร์บูรีซิ่ง กับสกูอัดถ่าน จึงต้องสร้างเตาอบขึ้นเองทำให้เสื่อมเปลือยค่าใช้จ่ายในการดำเนินโครงการมากขึ้น

5.3.3 เตาที่สร้างขึ้นนั้นในการปฏิบัติจริงจะต้องมีการเติมถ่านเป็นช่วง ๆ ซึ่งเตาบางช่วงมี อุณหภูมิสูงมากกว่า 1,100 องศาเซลเซียส จึงต้องระมัดระวังเป็นพิเศษ



## เอกสารอ้างอิง

- [1] มนัส สติรจินดา. (2537). วิศวกรรมการอบชุบเหล็ก. กรุงเทพฯ : วิศวกรรมสถานแห่งประเทศไทย.
- [2] มงคล จิรวัชรเดช. (2548). กลศาสตร์วัสดุ. กรุงเทพฯ : ส.แมคกรอ-ยิลลิ昂เตอร์เนชั่นแนลเอ็นเตอร์ไพรส์.
- [3] มนพ ตันตะบันพิทย์. (2546). งานทดสอบวัสดุอุตสาหกรรม. กรุงเทพฯ : ส.สมาคมส่งเสริมเทคโนโลยีไทย-ญี่ปุ่น.
- [4] ชาตรี หลักทองและคณะ. (2540). วัสดุวิศวกรรมเบื้องต้น เล่ม1. ส.แมคกรอ-ยิลลิ昂เตอร์เนชั่นแนลเอ็นเตอร์ไพรส์.
- [5] Callister, Jr. William D. (2015). Materials Science and Engineering. (9<sup>th</sup> ED). New York: & Sons.
- [6] Askeland, Donald R. (1994). The Science and Engineering of Materlas. (3<sup>rd</sup> ED). USA: PwsPublishing Company.
- [7] อนันต์ วงศ์กระจาง. (2533). ออกแบบชิ้นส่วนเครื่องจักรกล. กรุงเทพฯ: ไอเดียนสโตร์.
- [8] นางสาวกันยาทิพย์ ตันติมานน์ และคณะ. (2540). กรรมวิธีเติมคาร์บอนที่ผิวเหล็กกล้าโดยการแพ็คคาร์บูไรซิ่ง. มหาวิทยาลัยศรีนครินทรวิโรฒ.
- [9] มุขัมมุ เจและคณะ. (2547). การชุบผิวแข็งเหล็กกล้า 5115 โดยวิธี Pack carburizing. มหาวิทยาลัยเกษตรศาสตร์ วิทยาเขตพัฒนาการและวิทยาเขตร่วมกล้า.
- [10] นางสาวชลธิชา บุญสะอาดและคณะ. (2551). ตัวแปรในการทำคาร์บูไรซิ่งชนิดของแข็งที่มีผลต่อสมบัติเชิงกล. มหาวิทยาลัยเรศวร.
- [11] นายณรงค์เดช พัฒนาเพบูลย์ และคณะ. การลดเวลากระบวนการชุบผิวแข็งแบบแก๊สคาร์บูไรซิ่งโดยการลดเวลาเพร์และการบำบัดเย็น. สถาบันเทคโนโลยีพระจอมเกล้าพระนครเหนือ.
- [12] พิบูลย์ เครือคำอ้าย และวัฒน์ กำน้อย. ศึกษากระบวนการชุบเครื่องมือทางการเกษตรรอบด้วยหิน. มหาวิทยาลัยเทคโนโลยีราชมงคลล้านนา.
- [13] ปราโมทย์ บูนขุนทด และคณะ. (2548). ศึกษาประสิทธิภาพของถ่านชนิดต่างๆ ที่มีผลต่อการชุบแข็งที่ผิวเหล็กกล้าคาร์บอนด้วยวิธีแพ็คคาร์บูไรซิ่ง. มหาวิทยาลัยเทคโนโลยีราชมงคลล้านนา.
- [14] บุญมา ป้านประดิษฐ์และคณะองค์. การผลิตถ่านอัดแท่งคุณภาพสูง. คณะวิศวกรรมศาสตร์ กำแพงแสนมหาวิทยาลัยเกษตรศาสตร์.
- [15] ณรงค์ศักดิ์ ธรรมโขติ. (2549). วัสดุวิศวกรรม. กรุงเทพฯ : ส.เอเชียเพลส.

## เอกสารอ้างอิง (ต่อ)

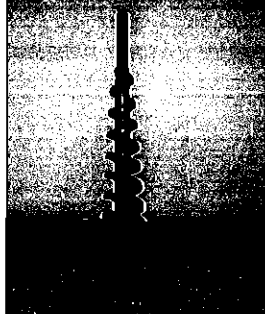
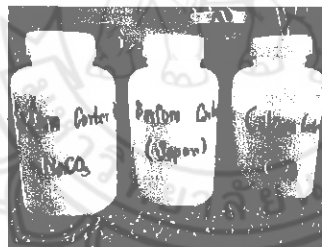
- [16] มหาวิทยาลัยเทคโนโลยีราชมงคลอีสาน. องค์ประกอบของถ่านไม้ชินิตต่างๆ.
- [17] Askeland,Donald R. (2003). *The Science and Engineering of Materias*. (4<sup>th</sup> ED). USA: Thomson Learning.





เครื่องมือ อุปกรณ์ และสารเคมีในการทำกระบวนการแพ็คคาร์บูรีซิ่ง  
ของสกรูอัดถ่าน

ตารางที่ ก.1 อุปกรณ์ และเครื่องมือที่ใช้ในกระบวนการแพ็คการบูรีชิ่งค์ของสกรูอัดถ่าน

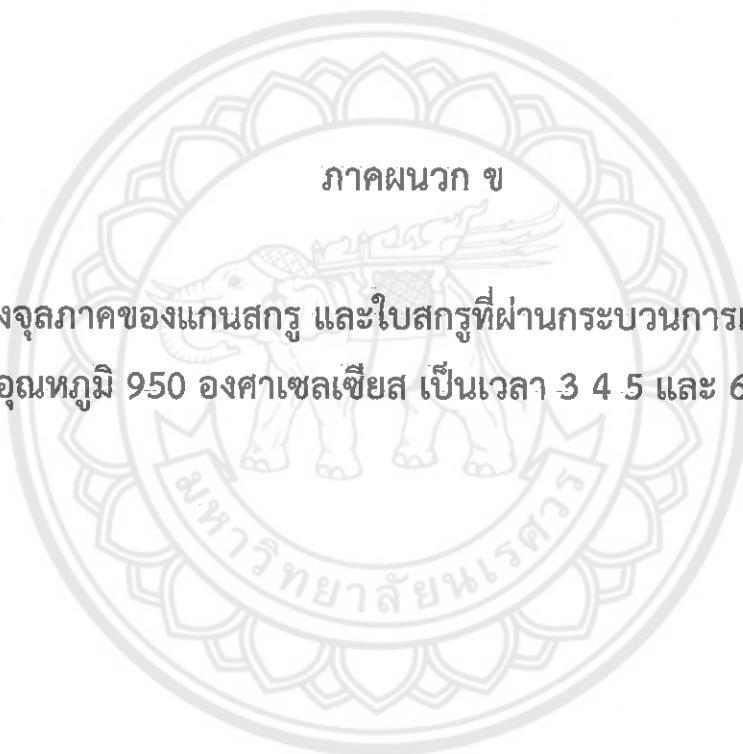
ชื่ออุปกรณ์	รูป	การใช้งาน
สกรูอัดถ่าน		ขั้นตอนสกรูอัดถ่านที่นำมาทำกระบวนการแพ็คการบูรีชิ่งค์
กล่องบรรจุชิ้นงาน การบูรีชิ่ง		ใช้สำหรับใส่สกรูอัดถ่าน
สาร $\text{Na}_2\text{CO}_3$ , $\text{BaCO}_3$ และ $\text{CaCO}_3$		ใช้สาร $\text{Na}_2\text{CO}_3$ , $\text{BaCO}_3$ และ $\text{CaCO}_3$ ในการทำปฏิกิริยาของกระบวนการแพ็คการบูรีชิ่งค์
ผงถ่านไม้		ทำหน้าที่เป็นคาร์บอนที่แทรกซึมเข้าไปในผิวของสกรูอัดถ่าน
ถ่านกัมมันต์		ช่วยเร่งปฏิกิริยาของของกระบวนการแพ็คการบูรีชิ่งค์

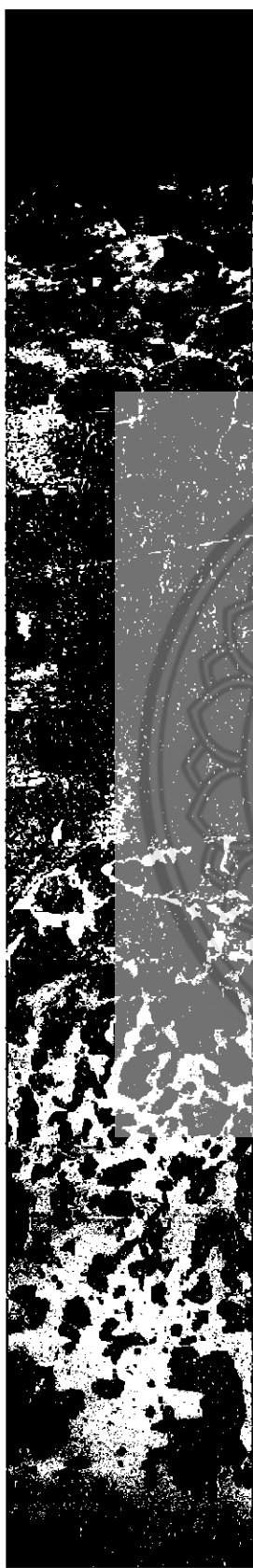
ตารางที่ ก.1 (ต่อ) อุปกรณ์ และเครื่องมือที่ใช้ในกระบวนการเพิ่คาร์บูโรซิ่งค์ของสกรูอัดถ่าน

ชื่ออุปกรณ์	รูป	การใช้งาน
เตาอบ		ใช้ในการอบสกรูอัดถ่าน
มัลติมิเตอร์		วัดอุณหภูมิความร้อน

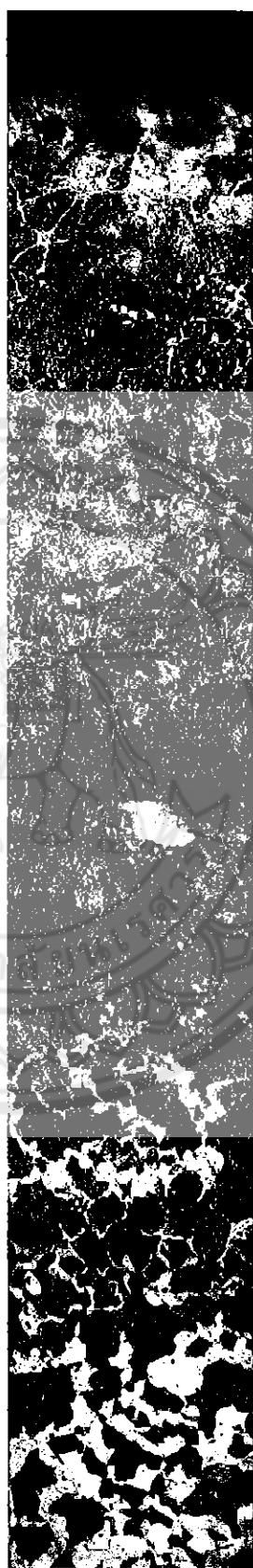
ภาคผนวก ข

โครงการสร้างจุลภาคของแกนสกรู และใบสกรูที่ฝ่ายกระบวนการแพ็คคาร์บูโรเชิง  
ที่อุณหภูมิ 950 องศาเซลเซียส เป็นเวลา 3 4 5 และ 6 ชั่วโมง

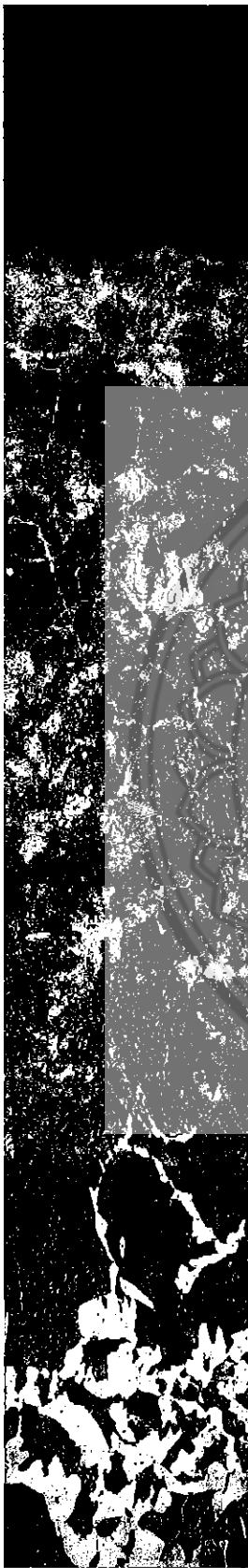




รูปที่ 4.26 โครงสร้างของจุลทรรศน์แบบเบตองของมวลสารทึบสี 3 ชั้นเมือง

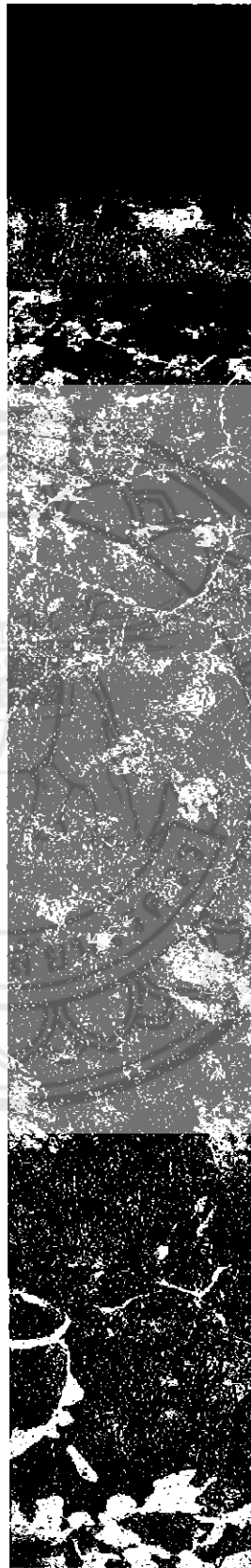


รูปที่ 4.27 โครงสร้างของจุลทรรศน์แบบเบตองของมวลสารทึบสี 4 ชั้นเมือง



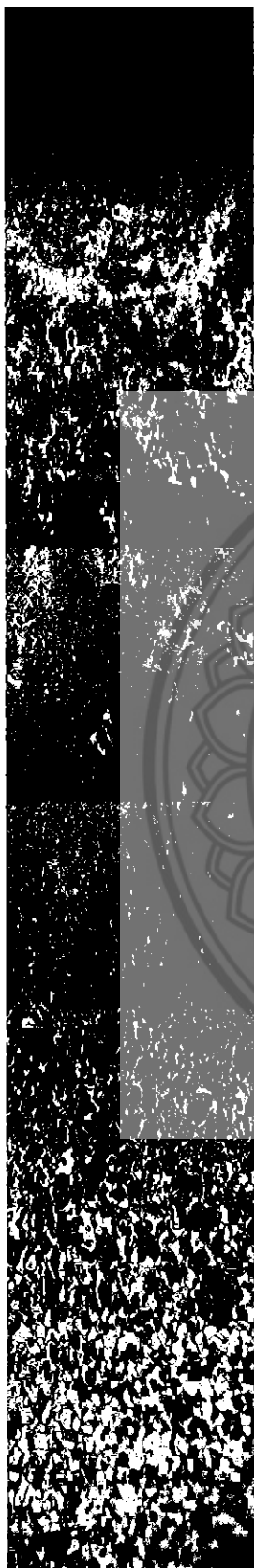
20  $\mu\text{m}$

รูปที่ 4.28 โครงสร้างภูมิประเทศแบบต่อเนื่องของแมกนีติก 5 ซึ่งไม่



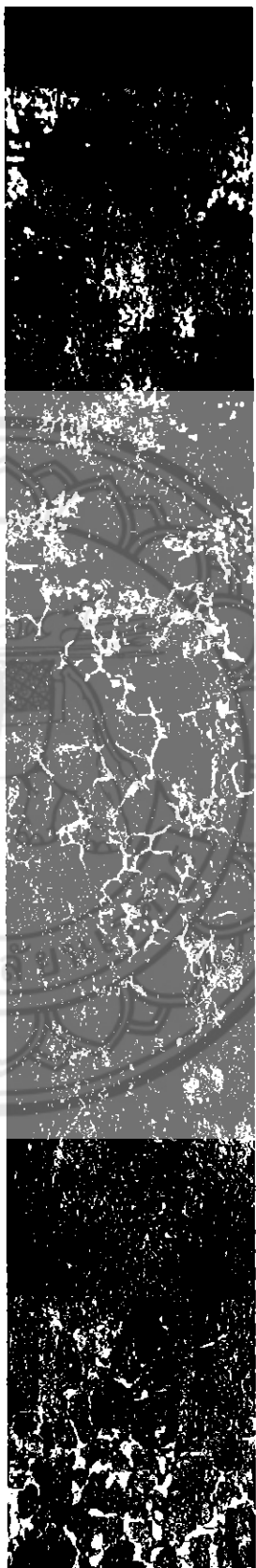
20  $\mu\text{m}$

รูปที่ 4.29 โครงสร้างภูมิประเทศแบบต่อเนื่องของแมกนีติก 6 ซึ่งไม่



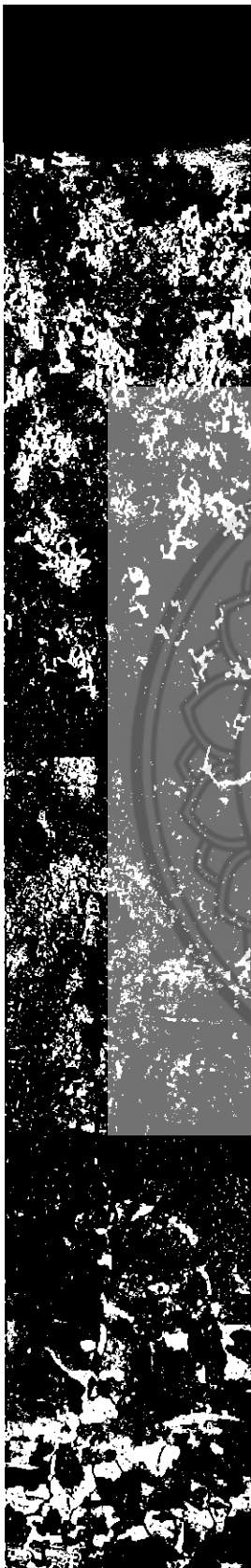
20 μm

รูปที่ 4.30 โครงสร้างจุลทรรศน์แบบต่อเนื่องของเปลือกหุ้มที่ 3 ชั้วโมง



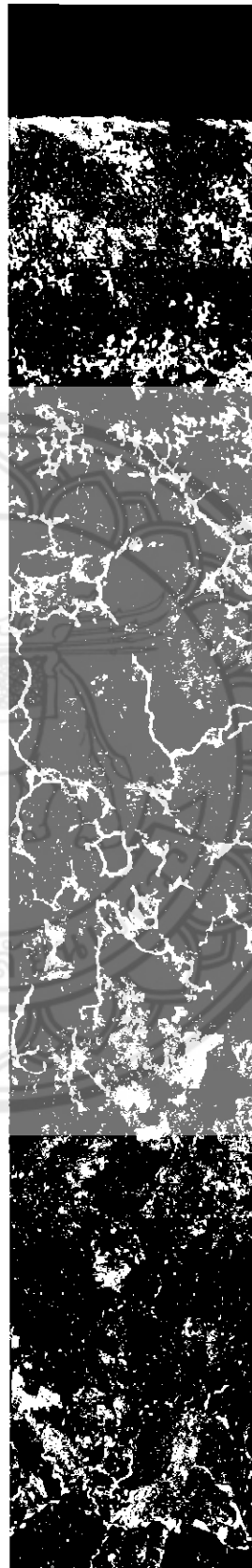
20 μm

รูปที่ 4.31 โครงสร้างจุลทรรศน์แบบต่อเนื่องของเปลือกหุ้มที่ 4 ชั่วโมง



20  $\mu\text{m}$

รูปที่ 4.22 โครงสร้างของถุกากาเมงบนเนื้อของใบสักรุ่น 5 ชั่วโมง

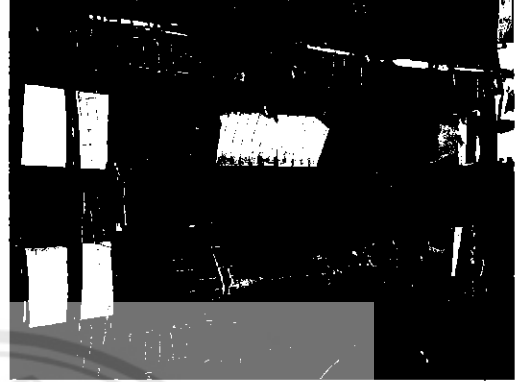
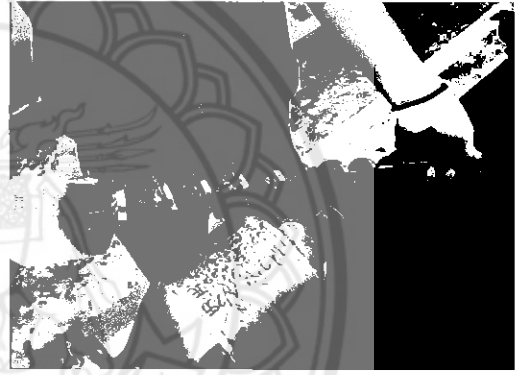
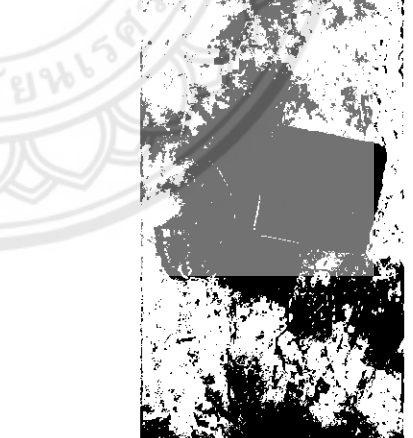


20  $\mu\text{m}$

รูปที่ 4.32 โครงสร้างถุกากาเมงบนเนื้อของใบสักรุ่น 6 ชั่วโมง



**ตารางที่ ค.1 ขั้นตอนการทดลองกับชิ้นงานจริง**

ขั้นตอนการปฏิบัติงานจริง	รูปภาพประกอบ
<p>1. สร้างเตาที่ใช้เผาสกรู โดยใช้ถังน้ำมัน 200 ลิตร อิฐมวลเบา และปูนทรายร้อน</p>	
<p>2. ทำการขัดสีเคลือบผิวออก เพื่อเพิ่มประสิทธิภาพในการแพร่คาร์บอน</p>	
<p>3. นำสกรูทั้งแท่งใส่เข้าไปในหีบเหล็กพร้อม กับใส่สารเคมีที่เตรียมไว้</p>	

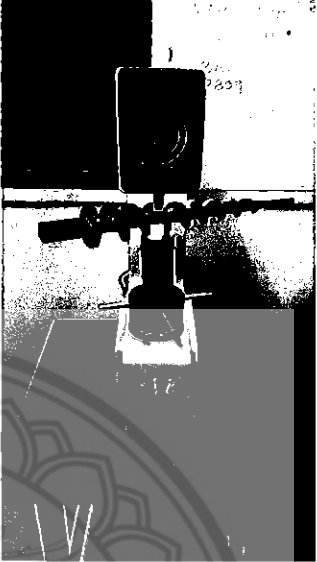
**ตารางที่ ค.1 (ต่อ) ขั้นตอนการทดลองกับชิ้นงานจริง**

<b>ขั้นตอนการปฏิบัติงานจริง</b>	<b>รูปภาพประกอบ</b>
4. ปิดฝาทึบเหล็ก และใช้ดินเหนียวปิดตามรอยขอบกล่อง	
5. ใส่ถ่านลงในเตาเผา	
6. จุดไฟเผาถ่าน โดยใช้แก๊สเป็นตัวช่วยในการควบคุมอุณหภูมิ	
7. ปิดฝาเตาให้สนิท	

**ตารางที่ ค.1 (ต่อ) ขั้นตอนการทดลองกับชิ้นงานจริง**

<b>ขั้นตอนการปฏิบัติงานจริง</b>	<b>รูปภาพประกอบ</b>
9. เผาสกรูที่อุณหภูมิ 950 องศาเซลเซียส เป็นเวลา 4 ชั่วโมง โดยใช้ปืนลมเป็นตัวเพิ่ม อุณหภูมิเจนทำให้ได้การเผาไหม้ที่สมบูรณ์	
10. ระหว่างการเผาสกรูจะต้องเติมถ่าน เป็นช่วงๆ เพื่อรักษาอุณหภูมิให้คงที่	
11. ใช้เทอร์โมคัปเปิล วัดอุณหภูมิ	

ตารางที่ ค.1 (ต่อ) ขั้นตอนการทดลองกับชิ้นงานจริง

ขั้นตอนการปฏิบัติงานจริง	รูปภาพประกอบ
15. วัดความแข็งของสกรูด้วยเครื่องทดสอบ ความแข็งร็อกเวล โดยค่าความแข็ง เฉลี่ยอยู่ที่ 58 HRC	



## ประวัติผู้ดำเนินโครงการ



ชื่อ นายภูมิพัฒน์ ขันติเจริญ  
ภูมิลำเนา 119/1 หมู่ที่ 1 ต.ท่าเสา อ.โพธลະ จ.พิจิตร  
ประวัติการศึกษา

- จบระดับมัธยมศึกษาจาก nauamunthathit มัธยม
- ปัจจุบันกำลังศึกษาในระดับปริญญาตรีชั้นปีที่ 4  
สาขาวิชากรรมวัสดุ คณะวิศวกรรมศาสตร์  
มหาวิทยาลัยนเรศวร

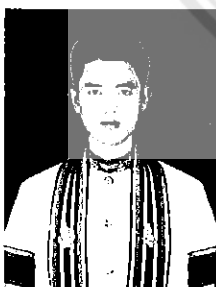
E-mail: mr.phumiphat@hotmail.com



ชื่อ นายไทรรงค์ ม่วงสุข  
ภูมิลำเนา 66 หมู่ 2 ต.ท่าช้าง อ.พรหมพิราม จ.พิษณุโลก  
ประวัติการศึกษา

- จบระดับมัธยมศึกษาจากโรงเรียนเตรียม  
อุดมศึกษาภาคเหนือ
- ปัจจุบันกำลังศึกษาในระดับปริญญาตรีชั้นปีที่ 4  
สาขาวิชากรรมวัสดุ คณะวิศวกรรมศาสตร์  
มหาวิทยาลัยนเรศวร

E-mail: oaktrirong@hotmail.com



ชื่อ นายอัครเศษ คำมา  
ภูมิลำเนา 81 หมู่ 5 ต.บ้านกลาง อ.หล่มสัก จ.เพชรบูรณ์  
ประวัติการศึกษา

- จบระดับมัธยมศึกษาจากโรงเรียนเมืองกลาง  
วิทยาคม
- ปัจจุบันกำลังศึกษาในระดับปริญญาตรีชั้นปีที่ 4  
สาขาวิชากรรมวัสดุ คณะวิศวกรรมศาสตร์  
มหาวิทยาลัยนเรศวร

E-mail: Akares\_o@hotmail.com